

MAZA TECHNISKĀ BIBLIOTEKA

Iznākušas

- Balodis, J. Mazās hidroelektriskās stacijas
Goļcevs, D. Darbgaldū pamatlīpu modernizacija metalu apstrādei
Jašcericins, P. Slipēšana
Kalniņš, M. Racionāli paņēmieni kiegeļu ražošanā
Kalniņš, M. Tirišana un attaukošana rūpniecībā
Klimovs, D. Arzenju pieredze māla kleķa celtniecībā
Kražovskis, M. Kūdras kurtuvēs mazjaudas tvaika katliem
Kuramžins, V. Evelešana
Kuvšinskis, V. Frezēšana
Kuznecovs, A. Urbšana
Mlezis, R. Divtaktu petrolejas motori zvejniecībā
Nezabitovskis, R. Caurvilkšana
Paegle, K. Gabalkūdras sadedzināšana mazas jaudas kurtuvēs
Paegle, K. Centralā apkure un tās ekspluatācija
Pelekis, L. Radioaktivo vielu izmantošana tehnikā
Plaude, K. Dabiskās vēdināšanas iekārtas
Serebrovskis, V. Virpošana
Strachovs, G. Anōdmechaniskā, elektroerozijas un elektrokontakta metalu apstrādes metodes
Ē. Oliņš, A. Vācietis. Jaunas konstrukcijas caurumstances

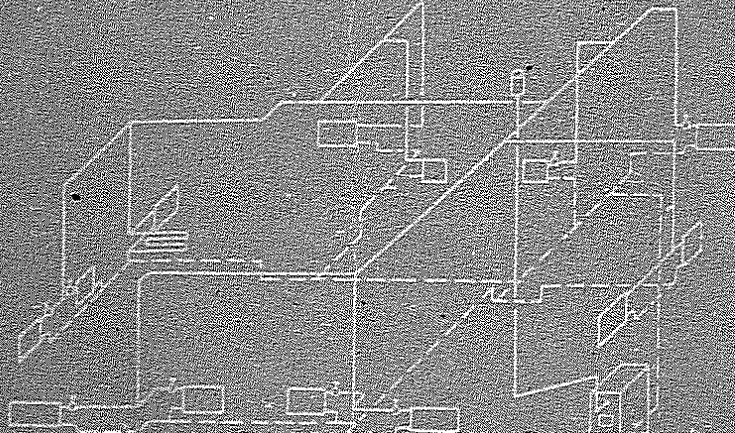
Maksā 1 rbl. 20 kap.

79365

MAZA TECHNISKĀ BIBLIOTEKA

V. ORISLIS

CENTRALĀ
ŪDENS APKURE
INDIVIDUALAJĀS
DZĪVOJAMĀS MAJĀS



LATVIJAS VALSTS IZDEVNIECĪBA

MAZĀ TECHNISKĀ BIBLIOTEKA

V. GRĪSLIS

CENTRALĀ ŪDENS APKURE
INDIVIDUALAJĀS
DZĪVOJAMĀS MĀJĀS

MAY 1963

49885

LATVIJAS VALSTS IZDEVNIECIBA
RIGĀ 1958

В. Грислис

ЦЕНТРАЛЬНОЕ ВОДЯНОЕ ОТОПЛЕНИЕ В
ИНДИВИДУАЛЬНЫХ ЖИЛЫХ ДОМАХ

Латвийское государственное издательство
Рига 1958

На латышском языке

PRIEKŠVĀRDS

Šajā darbā īsumā aplūkoti galvenie individuālo dzīvojamo māju centralās ūdens apkures sistemu projektēšanas, izbūves un ekspluatacijas jautājumi.

Aprēķinu daļā ietilpināti visi nepieciešamie tabulu dati un grafiki, lai arī personām, kas siltumtehnikā nav speciālisti, būtu iespējams patstāvīgi izdarīt vajadzīgos aprēķinus.

Brošura galvenokārt domāta individuālo dzīvojamo māju cēlājiem, kā arī apkures sistemu būvētājiem. Tā noderēs arī tiem, kurus interesē nelielu dzīvojamo ēku un atsevišķu dzīvokļu centralizētas siltumapgādes jautājumi.

IEVADS

Sakarā ar plaši izvērsto individualo celtniecību pilsētās un uz laukiem ļoti aktuāla kļūst jauno objektu labiekārtošanas problema.

Nav šaubu, ka ikviens individualās dzīvojamās mājas cēlājs vēlēsies to izbūvēt tā, lai jauniekārtotajās telpās varētu justies labi un mājīgi.

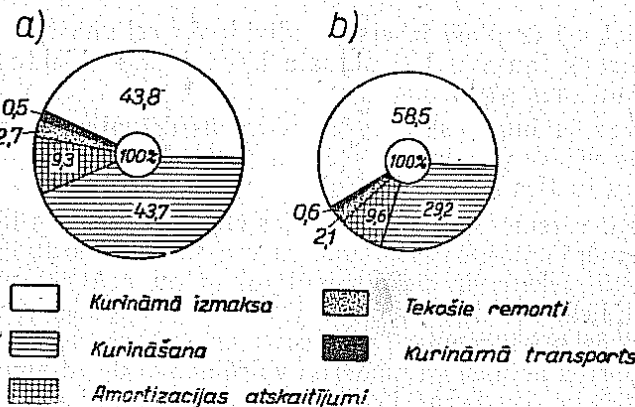
Mūsu zemes klimata apstākļos cilvēku labsajūtu telpās lielā mērā ietekmē gaisa temperatūra, tā mitrums un tīriņa. Minētie faktori ir cieši saistīti ar telpu apkures veidu. Šķiet, lieki būs uzskaitīt centralizēto siltumapgādes sistemu daudzās priekšrocības, salīdzinot ar krāšņu apkuri. To apstiprina arī tas, ka moderno vairākstāvu dzīvojamo ēku celtniecībā jau tagad krāšņu apkure ir pilnīgi aizvietota ar citiem progresīvākiem apkures sistēmu veidiem.

Līdzīgas tendences apkures sistēmu būvē aizvien noteiktāk sāk izpausties arī individualo dzīvojamo māju celtniecībā. Ja agrāk nelielu ģimenes māju apsildīšanai gandrīz bez izņēmuma lietoja podiņu krāsnis, tad tagad ne tikai jaunbūvētās, bet arī agrāk celtās un no jauna labiekārtotās ēkās jau diezgan parastas kļuvušas centralizēto apkures sistēmas. Ľoti bieži tās izbūvē vienkopus ar dažādos variantos veidotām karstā ūdens apgādes sistēmām, kas kalpo saimniecības vajadzībām virtuvē, vannām un dušām.

No sacītā izriet, ka turpmāk individualo dzīvojamo māju siltumapgādē centralizēto apkures sistēmas ieviesīsies vēl plašāk, jo tām ir ne tikai labākas sanitāri higieniskās īpašības, lielāka ugunsdrošība, pilnīgāka kurināmā izmantošana, bet arī ļoti izdevīgi ekonomiskie rādītāji.

Dažādu apkures sistemu ekspluatācijā konstatēts*, ka kapitalie ieguldījumi centralās ūdens apkures sistemas izbūvei dažos gadījumos ir pat zemāki nekā krāšņu apkures iekārtošanai.

Ekspluatācija centralām apkurēm, salīdzinot ar krāšņu apkuri, ir par $\approx 25\%$ lētāka. Šo izdevumu procentualais sadalījums apkures periodā rāda (sk. 1. zīm.), ka tad, ja kurināmā sagādes, tekošo remontu izdevumi un amortizācijas atskaitījumi ir apmēram vienādi, krāšņu kurināšana ir gandrīz divlīk darba ietilpīga.



1. zīm. Ekspluatācijas izdevumu sadalījuma struktura:
a — krāšņu apkure; b — centralās ūdens apkures sistēma.

Individualo dzīvojamio māju centralās apkures sistēmas parasti kā siltumnesēju izmanto karstu ūdeni. Šādas apkures sistēmas konstruktīvi ir vienkāršas, drošas ekspluatācijā, labi pakļaujas temperatūras regulēšanai telpās un darbojas ar dabisko cirkulāciju.

Minētās apkures ielaises nosauc par centralām ūdens apkures sistēmām ar dabisko cirkulāciju vai arī par ūdens gravitācijas apkures sistēmām.

Brošuras tālākajās nodalās aplūkotas šo centralā ūdens apkures sistēmu darbības, projektašanas, izbūves un ekspluatācijas īpatnības.

* L. Gagojeva raksts žurnālā «Водоснабжение и санитарная техника», 1956, Nr. 1.

1. §. CENTRALĀS ŪDENS APKURES SISTEMAS APRĒĶINA PARAMETRI

Individualo dzīvojamā māju apkures sistēmas sakarētā ūdens temperatūra turpgaitas vadā parasti nepārsniedz $+90$ līdz $+95^{\circ}\text{C}$, bet atpakaļgaitas vadā — $+70^{\circ}\text{C}$.

Šādas apkures sistēmai raksturīgas augstākās ūdens temperatūras nosauc par siltumnesēja aprēķina temperatūrām un apzīmē turpgaitas ūdenim ar t_1^{apr} , bet atpakaļgaitas ar t_2^{apr} . Faktiskās ūdens temperatūras (t_1 un t_2) apkures periodā parasti ir zemākas par aprēķina temperatūrām, t. i.,

$$t_1 < t_1^{\text{apr}} \text{ un } t_2 < t_2^{\text{apr}}.$$

Tomēr visaukstākajā ziemas periodā dažkārt apkures sistēmas siltuma generatora jākurina tik intensīvi, ka turpgaitas vada ūdens temperatūra t_1 sasniedz t_1^{apr} un t_2 paaugstinās līdz t_2^{apr} .

Šādās reizēs ārējā gaisa temperatūra (t_{ar}) ir pazeminājusies līdz t. s. ārējā gaisa aprēķina temperatūrai — $t_{\text{ar}}^{\text{apr}}$.

Ārējā gaisa aprēķina temperatūra apkures sistēmas projektēšanā ir ļoti svarīgs lielums. Tā raksturo dotās geografiskās vietas klimata īpatnības. $t_{\text{ar}}^{\text{apr}}$ nosaka, parādototies uz ilggadīgiem vietējiem meteoroloģiskiem novērojumiem.

Lai atvieglinātu un reizē arī precīzētu apkures sistēmu projektašanas darbu, $t_{\text{ar}}^{\text{apr}}$ temperatūras PSRS teritorijai ir noteiktas ar OCT 90008—39 normām.

2. zīmējumā parādīta karte ar $t_{\text{ar}}^{\text{apr}}$ izotermām.

Vadoties pēc tās, iespējams noteikt jebkurā Latvijas

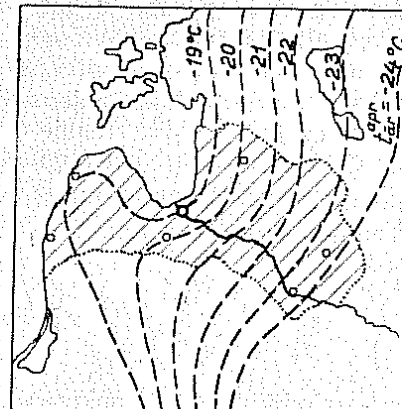
* Vienstāva ēku un atsevišķu dzīvokļu centralām apkures sistēmām stabilāka hidrauliskā režīma nodrošināšanai parasti pieņem $t_1 = +90^{\circ}\text{C}$.

PSR pilsētā vai lauku rajonā būvējamai ēkas centralai apkurei ārējā gaisa aprēķina temperaturu — $t_{\text{ār}}^{\text{apr}}$.

Pēc kartes redzams, ka Rīgā $t_{\text{ār}}^{\text{apr}} = -19^{\circ}\text{C}$, Liepājā -18°C , Daugavpilī -24°C utt. Pareizi dimensionētas un izbūvētas centralās ūdens apkures sistemas praktiski spēj nodrošināt telpas normalu temperaturu visā apkures periodā.

Dažādas nozīmes telpas individualās dzīvojamās mājās par normalām uzskata 1. tabulā minētās temperatūras.

2. zīm. Ārējā gaisa aprēķina temperatūru izotermas



1. tabula
Telpu normalās temperatūras — t_{ie}

Nr. p. k.	Telpas nosaukums	$t_{\text{ie}} \text{ } ^{\circ}\text{C}$
1.	Dzīvojamās istabas	+18...+20
2.	Virtuves	+15...+17
3.	Vannas istabas	+20...+25
4.	Gaitēji	+15...+18
5.	Kāpņu telpas	+10...+16
6.	Neapkurin. bēniņu telpas	-6...-10
7.	pagrabtelpas	+3

Tātad jebkura centralās apkures sistema jāprojektē aprēķina un normalo parametru režimam, t. i., jāprojektē ar siltumnesēja aprēķina temperatūrām t_1^{apr} , t_2^{apr} , ārējā gaisa aprēķina temperaturai — $t_{\text{ār}}^{\text{apr}}$ un normalai telpai temperaturai t_{ie} .

¹ Saskaņā ar CHuIII — 1954. g. un OCT 90008—39 normām.

2. §. ĒKU SILTUMA ZUDUMU APRĒĶINS

Mūsu republikas klimata apstākļos dzīvojamo māju apkures sezona sākas apr. oktobra vidū un turpinās līdz nākamā gada aprīļa vidum.

Šajā laikā siltums, kas izdalās virtuvē, gatavojojot ēdienu, dzīvojamās istabās — darbinot radio aparatu, televizoru un citus elektriskos piederumus, vairs nesedz palielinātos siltuma zudumus un telpu temperatūra sāk pazemināties zem normalās.

Tas nozīmē, ka apsildāmo telpu siltuma bilancē radies iztrūkums, kas mākslīgi jākompenē, iedarbinot apkures sistemu.

Ikvienas centralās apkures sistemas aprēķinu parasti sāk, nosakot apsildāmā objekta siltuma zudumus.

Orientējošiem aprēķiniem var izmantot tālāk sniegtos empiriskos koeficientus, diagramu (3. zīm.) vai tabulu (2. tab.).

Ipatnējie siltuma zudumi, attiecināti uz ēkas 1 m^3 ārējo kubaturu V un temperatūru diferenci $\Delta t = t_{\text{ie}} - t_{\text{ār}}^{\text{apr}} = 1^{\circ}\text{C}$, ja $V \leq 1000 \text{ m}^3$, ir

$$q = 0,50 \dots 0,65 \text{ kkcal/m}^3 \text{ st } ^{\circ}\text{C}.$$

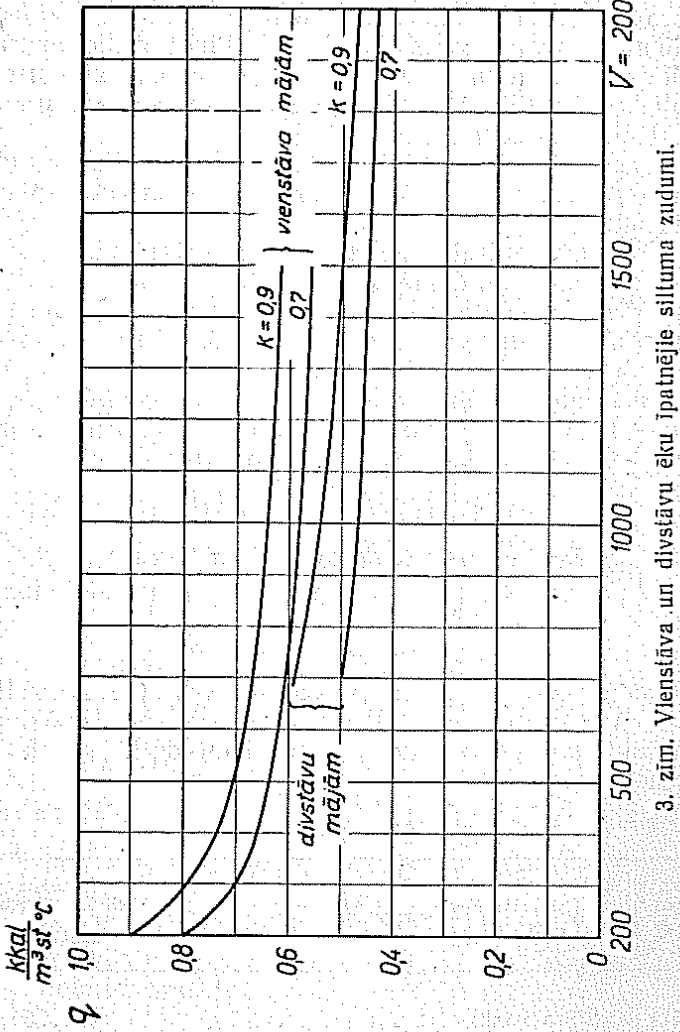
Zinot q , ēkas faktiskā kubaturu V_f , $t_{\text{ār}}^{\text{apr}}$ un t_{ie} , kopējos siltuma zudumus Q_{zud} var iegūt no šāda vienādojuma:

$$Q_{\text{zud}} = q V_f (t_{\text{ie}} - t_{\text{ār}}^{\text{apr}}) \text{ kkcal/st.} \quad (1)$$

Diagramā ēkas siltuma zudumi doti pie noteiktām siltuma transmisijas koeficienta k vērtībām. Tuvāki norādījumi par koeficienta k noteikšanu doti 11. lpp. un 2. pielikumā.

2. tabula
 1m^3 telpas siltuma zudumi

Nr. p. k.	Telpas raksturojums	Ipatnējie siltuma zudumi $q_i \text{ kkcal/m}^3 \text{ st}$
1.	Stūra istaba	40...60
2.	Vēja vai ziemelū pusē izbūvēta telpa	30...40
3.	Aizvēja vai dienvidu puses telpa	20...30



Ar tuvinātām aprēķinu metodēm iegūtie rezultati dažkārt var būt arī neprecizi, it īpaši tāpēc, ka individualo māju būvētāji ēku sienu, logu, durvju u. c. būvelementu konstrukcijas nereti izvēlas visai savdabīgas.

Tāpēc katrā gadījumā apkures sistemas projektašanā siltuma zudumus ieteicams noteikt precīzāk, vadoties pēc šādiem konkrekiem materialiem:

1. Apkuriņāmā objekta plāna, kurā norādītas arī debess puses.
2. Ēkas šķērsgriezumiem un garengriezumiem (ar norādītiem stāvu augstumiem).
3. Datiem par ārsienu, logu, durvju, griestu un grīdu konstrukcijām, par lietotiem materialiem un detaļu izmēriem.
4. Ziņām par apbūves vietas meteoroloģiskām īpašībām (vējiem utt.).

Lai noteiktu katram radiatoriņam nepieciešamo sildvirsmas lielumu, vispirms jāaprēķina siltuma zudumi katrai telpai atsevišķi.

Pēc tam, tos sumējot un pieskaitot vēl pārējo siltumpatēriņu slodzi (piemēram, garažai, siltumnīcai utt.), nosaka siltuma generatora (katla) sildjaudu.

Aplūkosim vispirms ēkas atsevišķo būvelementu siltuma zudumu aprēķinu metodes:

a) Siltuma zudumi caur ārsienām

Aprēķina pamatvienādojums ir

$$Q_{\text{sien}} = F_{\text{sien}} \cdot k_{\text{sien}} (t_{\text{ie}} - t_{\text{ār}}^{\text{apr}}) \text{ kkal/st.} \quad (2)$$

Šajā vienādojumā

Q_{sien} — siltuma zudumi caur ārsienām;

F_{sien} — dzesējošās sienas virsmas laukums (atskaitot logu laukumu) [m^2];

k_{sien} — sienas siltuma transmisijas koeficients

$$[\text{kkal}/\text{m}^2 \text{ st } ^\circ\text{C}].$$

Praksē visvairāk izplatītiem sienu konstrukciju veidiem koeficiente k_{sien} skaitliskā vērtība dota 2. pielikumā.

Kā jau norādīts, individualo dzivojamā māju celtnečība ir raksturīga ar lielu daudzveidību ārsienu konstrukciju izveidojumos. Tāpēc visos pārējos gadījumos, kad tabulu dati iztrūkst, siltuma transmisijas koeficients k_{sien} jānosaka analitiski pēc šāda vienādojuma:

$$k_{\text{sien}} = \frac{1}{\frac{1}{\alpha_1} + \frac{\delta_1}{\lambda_1} + \frac{\delta_2}{\lambda_2} + \dots + \frac{\delta_n}{\lambda_n} + \frac{1}{\alpha_2}} \text{ kkal/m}^2 \text{st } ^\circ\text{C} \quad (3)$$

tajā α_1 un α_2 — siltuma pārejas koeficienti no telpas uz sienu un no sienas ārpuses uz apkārtējo vidi

$$[\text{kkal}/\text{m}^2 \text{st } ^\circ\text{C}];$$

$\delta_1, \delta_2 \dots \delta_n$ — saliktas sienas konstrukcijas atsevišķa materiala slāņa biezums [m] (sk. 4. zīm.);

$\lambda_1, \lambda_2 \dots \lambda_n$ — attiecīgā slāņa materiala siltuma vadīšanas koeficients [$\text{kkal}/\text{m st } ^\circ\text{C}$].

Skaitliskās λ vērtības dažādiem būvmaterialiem dotas 1. pielikumā.

Siltuma pārejas koeficientus α_1 un α_2 parasti pieņem sekojošus:

$$\alpha_1 = 7,5 \text{ kkal}/\text{m}^2 \text{st } ^\circ\text{C};$$

$\alpha_2 = 20,0 \text{ kkal}/\text{m}^2 \text{st } ^\circ\text{C}$ (uz apkārtējo ārējo gaisu);

$\alpha_2 = 10,0 \text{ kkal}/\text{m}^2 \text{st } ^\circ\text{C}$ (uz vēsām blakus telpām).

Gadījumā, ja sienas konstrukcijā ir arī gaisa šķirkārtas starp atsevišķo materiālu slānjiem, tad 3. vienādojumā $\frac{\delta_n}{\lambda_n}$ vietā jāievieto lielums $R_{\text{gaiss}} = \frac{\delta_{\text{gaiss}}}{\lambda_{\text{gaiss}}}$, kura skaitliskā vērtība dažādiem gaisa slāņu biezumiem dota 3. tabulā.

3. tabula

Koeficiente R_{gaiss} skaitliskās vērtības dažādiem slāņu biezumiem
(pēc OCT 90008—39)

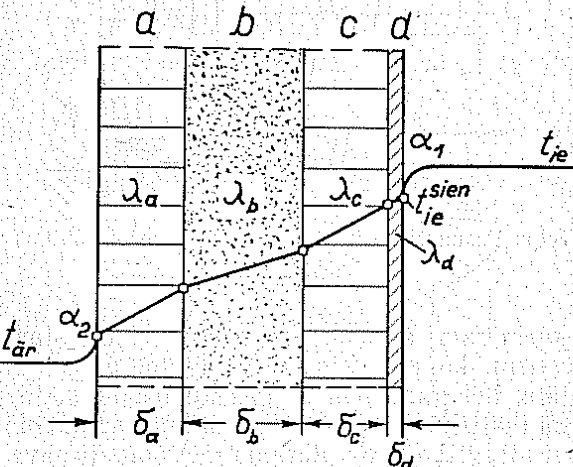
Nr. p. k.	Gaisa slāņa konfigurācija	R_{gaiss} , ja slāņa biezums (cm)					
		1	2	3	5	10	15 ... 30
1.	Vertikals slānis	0,17	0,19	0,20	0,20	0,20	0,19
2.	Horizontalais slānis, siltuma plūsma virzīta:						
	a) no lejas uz augšu	0,15	0,17	0,18	0,18	0,18	0,19
	b) no augšas uz leju	0,18	0,21	0,23	0,25	0,26	0,26

1. piemērs. Aprēķināt ēkas ārsieras siltuma transmisijas koeficientu, siltuma zudumus un iekšējā apmetuma virsmas temperaturu, ja ārējā gaisa temperatūra ir $t_{\text{ār}}^{\text{apr}} = -20^\circ\text{C}$ un telpā $t_{\text{ie}} = +18^\circ\text{C}$.

Sienas konstrukcija parādīta 4. zīmējumā. Slāni a un c — kieģeļu mūris, biezums $\delta_a = \delta_c = 0,120 \text{ m}$; siltuma vadīšanas koeficients $\lambda_a = \lambda_c = 0,7 \text{ kkal}/\text{m st } ^\circ\text{C}$. Slānis b — izdedžu pildijums: $\lambda_b = 0,140 \text{ m}$; $\lambda_b = 0,25 \text{ kkal}/\text{m st } ^\circ\text{C}$; slānis d — iekšējais apmetums: $\delta_d = 0,015 \text{ m}$; $\lambda_d = 0,6 \text{ kkal}/\text{m st } ^\circ\text{C}$. Siltuma pārejas koeficienti: $\alpha_1 = 7,5 \text{ kkal}/\text{m}^2 \text{st } ^\circ\text{C}$; $\alpha_2 = 20,0 \text{ kkal}/\text{m}^2 \text{st } ^\circ\text{C}$.

Siltuma transmisijas koeficients pēc trešā vienādojuma ir

$$k_{\text{sien}} = \frac{1}{\frac{1}{\alpha_1} + \frac{\delta_a}{\lambda_a} + \frac{\delta_b}{\lambda_b} + \frac{\delta_c}{\lambda_c} + \frac{\delta_d}{\lambda_d} + \frac{1}{\alpha_2}} = \frac{1}{\frac{1}{7,5} + \frac{0,120}{0,7} + \frac{0,140}{0,25} + \frac{0,120}{0,7} + \frac{0,015}{0,6} + \frac{1}{20}} = 0,9 \text{ kkal}/\text{m}^2 \text{st } ^\circ\text{C}.$$



4. zīm. Ēkas ārsienas konstrukcija.

Siltuma zudumus caur katru ārsienas kvadratmetru nosaka pēc 2. vienādojuma:

$$Q_{\text{sien}} = 1 \times 0,9 [18 - (-20)] = 34,2 \text{ kkal/st},$$

bet sienas iekšējā apmetuma virsmas temperatūru aprēķina pēc šāda vienādojuma:

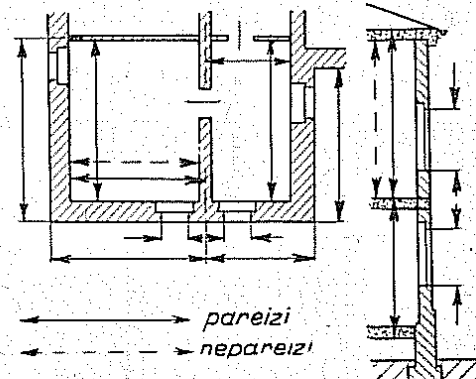
$$t_{\text{ie}}^{\text{sien}} = t_{\text{ie}} - \frac{k_{\text{sien}}}{\alpha_1} (t_{\text{ie}} - t_{\text{ār}}) ^\circ\text{C} \quad (4)$$

Piemērā

$$t_{\text{ie}}^{\text{sien}} = 18 - \frac{0,9}{7,5} [18 - (-20)] = 18 - 4,56 = 13,44^\circ\text{C}.$$

Eku būvniecības sanitāri higieniskos noteikumos ir norādīts, ka ārsieni iekšējās virsmas temperatūra, salīdzinot ar telpas temperatūru, nedrīkst atšķirties vairāk par 6°C . (Piemērā: $t_{\text{ie}} - t_{\text{ie}}^{\text{st}} = 4,56^{\circ}\text{C} \angle 6^{\circ}\text{C}$.)

Telpu siltuma zudumu aprėkino pienemta išpačnėja dzesėjošo virsmu mėrišanas metode (sk. 5. zim.).



5. zīm. Telpu geometrisko izmēru noteikšana ēkas siltuma zudumu aprēķinam.

Tā, piemēram, ārsienu augstumu nemēri starp grīdu un griestiem, kā parādīts 5. zīmējumā ar pārtrauktām mērlinijām, bet gan kopā ar griestu biezumu, jo pretējā gadījumā faktiskā dzesējošā viļuma būtu samazināta.

Tāpat atsevišķo telpu platumu mērišanā ir sava pieeja, ko vislabāk paskaidro 5. zīmējumā parādītie piemēri.

Siltuma pārejumi caur iekšējām sienām no vienas telpas uz otru, ja vien abu telpu temperatūru diferēncē nepārsniedz 5°C , praktiskos aprēķinos neievēro.

b) Siltuma zudumi caur grīdām un griestiem

Siltuma zudumus caur I stāva telpas grīdu, ja tā izbūvēta tieši virs zemes, aprēķina pēc šāda vienādījuma:

$$Q_{\text{grid}} = F_{\text{grid}} \cdot k_{\text{grid}}^{\text{nos}} (t_{\text{ie}} - t_{\text{gr}}^{\text{apr}}) \text{ kkal/st}, \quad (5)$$

kur

F_{grid} — grīdas laukums m^2

(par mērišanu sk. 5. un 6. zīm.);

$k_{\text{grid}}^{\text{nos}}$ — gridas nosacītais siltuma transmisijas koeficients [$\text{kcal}/\text{m}^2 \text{st } ^\circ\text{C}$].

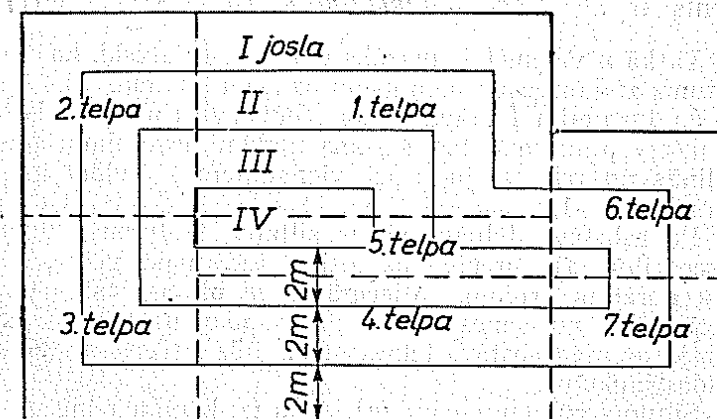
Koeficienta $k_{\text{grid}}^{\text{dos}}$ skaitliskā vērtība nav vienāda visam grīdas laukumam, bet to piemērā šādu:

- a) 2 m platai joslai no ārsienas uz telpas vidusdaļu
 $k_{\text{grid}}^{\text{nos I}} = 0,40 \text{ kkal/m}^2 \text{ st } {}^\circ\text{C};$

b) tālākai 2 m platai joslai virzienā uz telpas vidusdaļu
 $k_{\text{grid}}^{\text{nos II}} = 0,20 \text{ kkal/m}^2 \text{ st } {}^\circ\text{C};$

c) lielām telpām izdala vēl nākošo 2 m plato joslu, kurai
 $k_{\text{grid}}^{\text{nos III}} = 0,1 \text{ kkal/m}^2 \text{ st } {}^\circ\text{C}.$

Joslu mērišanas veids parādīts 6. zīmējumā



6. zīm. Nosacītā grīdu siltuma transmisijas koeficients joslai
(grīdu siltuma zudumu aprēķināšanai).

Pēc sanitari higieniskiem noteikumiem dzīvojamotelpu grīdas virsmas temperatūra, salīdzinot ar telpas gaisa temperatūru, nedrīkst atšķirties vairāk par $2,5^{\circ}\text{C}$.

Lai to nodrošinātu, parasti zem apakšējā stāva grīdām liek siltumu izolējoša materiala pildijumu (izdedžus, sausas smilts utt.).

Šādām grīdām, kas no zemes atdalitas ar vienu vai vairākiem izolacijas slāņiem, iepriekš minētie nosacītie siltuma transmisijas koeficienti — $k_{\text{grid}}^{\text{nos}}$ jākoriģē, ievedot papildu reizinātāju n .

Pēdējo aprēķina pēc šāda vienādojuma:

$$n = \frac{1}{1 + 1,25 \left(\frac{\delta_1}{\lambda_1} + \frac{\delta_2}{\lambda_2} + \dots + \frac{\delta_n}{\lambda_n} \right)} < 1. \quad (6)$$

Seit $\delta_1 \dots \delta_n$ — pildijuma slāņu biezums [m], $\lambda_1 \dots \lambda_n$ — pildijuma materiala siltuma vadīšanas koeficients [$\text{kcal}/m \text{st } ^\circ\text{C}$]

(λ skaitiskās vērtības dotas 1. pielikumā).

Faktiskais izolēto grīdu siltuma transmisijas koeficients ir $k_{\text{grid}}^{\text{fakt}} = k_{\text{grid}}^{\text{nos}} \cdot n$ [$\text{kcal}/m^2 \text{st } ^\circ\text{C}$]. (7)

Tā kā n vienmēr ir mazāks par 1, tad dabiski, ka arī siltuma zudumi caur šādu grīdu uz zemi būs mazāki.

Ja turpretim I stāva grīdu izbūvē virs pasījam bez apakšējā pildijuma, tad siltuma zudumi ievērojami palielinās un reizinātāju n (7. vienādojumā) šādām grīdām pieņem 1,2.

Pagrabstāva telpām sienu siltuma zudumus (zem zemes līmeņa) aprēķina pa joslām tādā pašā veidā, kā bija norādīts grīdām. Attiecīgās 2 m platās joslas tur mēri, sākot no zemes līmeņa gar sienām uz leju, tālāk pārejot uz pagrabstāva telpas grīdu, līdz ietveris arī viss grīdas laukums.

Siltuma zudumus caur griestiem uz bēniņu telpu aprēķina pēc tāda paša vienādojuma, kāds bija dots ārsienām (2. vienādojums). Seit tikai siltuma transmisijas koeficiente $k_{\text{stén}}$ vietā jāievieto k_{gresti} un $t_{\text{ar}}^{\text{apr}}$ vietā — bēniņu telpas temperatūra t_{le} (skaitiskās vērtības sk. 1. tabulā). Divstāvu ēkām siltuma apmaiņu caur apakšstāva griestiem nerēķina.

c) Siltuma zudumi caur logiem un durvīm.

Tos aprēķina tāpat kā caur sienām (pēc 2. vienādojuma).

Attiecīgie siltuma traņsmisijas koeficienti doti sekojošā tabulā.

4. tabula

Konstrukcija	$h \text{ kcal}/m^2 \text{st } ^\circ\text{C}$	
	vienkāršie	dubultie
Logi		
a) koka rāmjos	5,0	2,3
b) metala	5,5	2,8
c) vitrinu tipa	4,0	—
d) virsgaismas (iebūvēti griesotos)	6,5	3,0
Durvīs		
a) ārējās, koka	3,5 . . . 4,0	2,0
b) „ metala	6,5	—
c) balkona, iestiklotas	3,0	2,0
d) iekštelpu	2,5	—

d) Pieskaitījumi siltuma zudumiem.

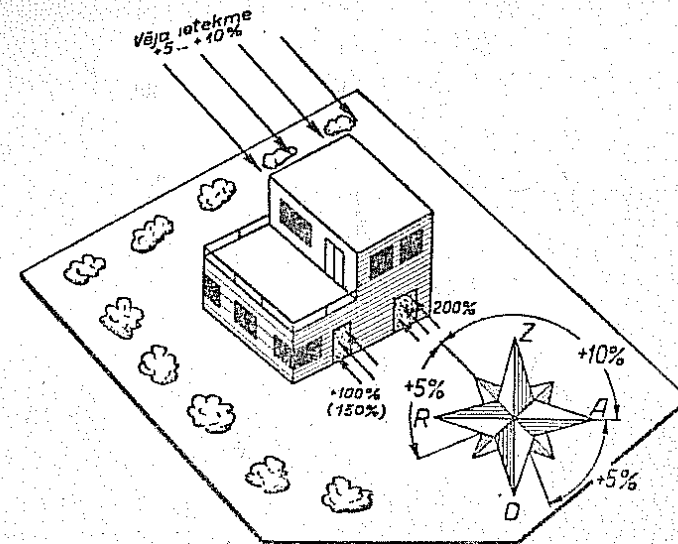
Ēku siltuma zudumus stipri ietekmē apvējošanā, stāvu skaits, dzesējošo sienu orientacija pret debess pusēm un citi faktori, kurus aprēķina ceļā noteikt nevar. Sajā sakaribā aprēķinātos siltuma zudumus vēl koriģē ar papildu pieskaitījumiem.

1) Ja sienas, logi, durvis vai jumtu vertikālās projekcijas vērstas pret ziemeljiem, austrumiem, ziemeļaustrumiem vai ziemeļrietumiem, tad siltuma zudumus palielina par 10%; ja tās vērstas pret dienvidastrumiem vai rietumiem, tad palielina par 5%. Aprēķinātos siltuma zudumus nemaina tikai tām būvkonstrukcijām, kas vērstas pret dienvidiem un dienvidrietumiem.

2) Ja ēka uzbūvēta atklātā vietā, tad aprēķinātie siltuma zudumi (caur vertikālām virsmām) jāpalielina sakārā ar apvējošanu par 5%; tāpat par 5% jāpalielina

79885

aprēķinātie siltuma zudumi telpām, kurām ir vairākas ārējās sienas; ja ēka atrodas upes vai ezera krastā, tad siltuma zudumus palielina pat līdz 10%. Tajās vietās, kur veja ātrums bieži pārsniedz 5 m/sek., aprēķinātos siltuma zudumus dubulto.



7. zīm. Procentualie pieskaitījumi aprēķinātiem siltuma zudumiem.

3) Palielinātus siltuma zudumus rada arī gaisa apmaiņa caur ēkas ārējām durvīm. Šie papildu siltuma zudumi ir atkarīgi no kāpņu telpas augstuma (resp. ēkas stāvu skaita).

Vienstāvu ēku dubultām ārējām durvīm aprēķinatos siltuma zudumus palielina par 100%, vienkāršām durvīm — par 150%. Divstāvu ēku ārējām durvīm — par 200%.

Ēkas siltuma zudumu aprēķinu labākas pārskata mības dēļ parasti sniedz tabulas veidā (sk. 2. piemēru).

Ekas kopējos siltuma zudumus dabū, sumējot aprēķinātos siltuma zudumus atsevišķām telpām.

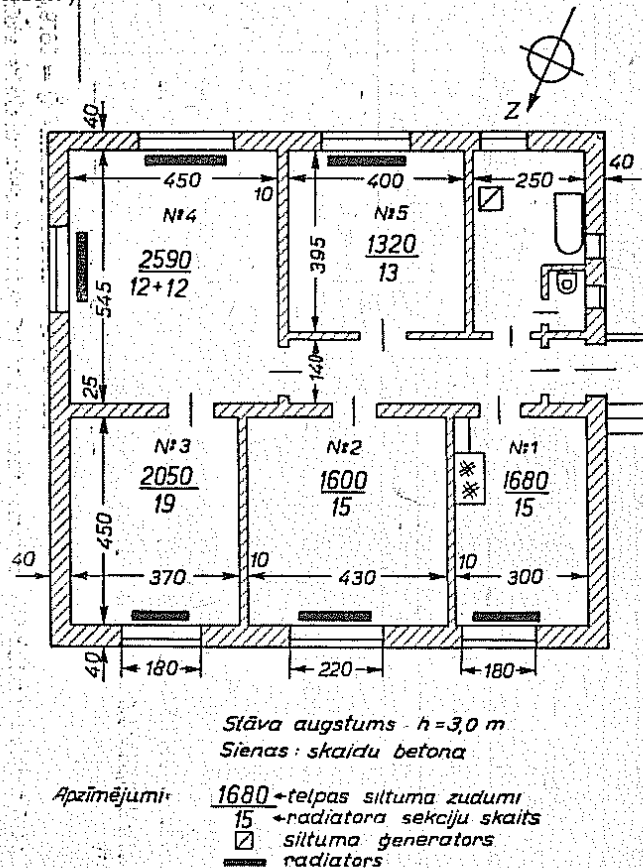
5. tabula

Cetristabu īcīlīvīgūlās dzīvolamās mālas siltīmēz zīmēzēm un grākīm.

Talbas Nr. 1 siltuma žindutinis. $Q = 1679.5 \text{ l/s}$

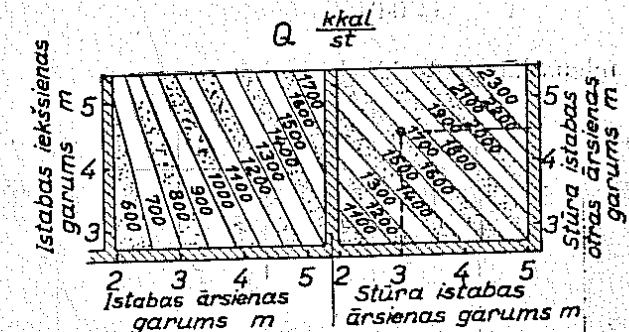
Tādā pašā veidā pārējo telpu aprēķinātie plānā Šekciju skaita aprēķins aprakstīts 6. S

2. piemērs. Aprēķināt 8. zīmējumā attēlotās individualās dzīvjamās mājas virtuves telpas siltuma zudumus, ja tajā jāuztur $t_{le} = +17^{\circ}\text{C}$ un ārējā gaisa aprēķinta temperatūra $t_{ar}^{apr} = -19^{\circ}\text{C}$ (sk. 5. tabulu).



Pabeidot siltuma zudumu dažādo aprēķinu metodiku izklāstu, 9. zīmējumā sniedzam empiriski saslādītu nomogrammu, ar kuras palīdzību tuvināti bez jebkādiem sīkākiem aprēķiniem var noteikt taisnstūrveida telpu siltuma zudumus.

Nomogrammas kreisā puse domāta siltuma zudumu Q noteikšanai ēkas vidusdaļas telpām, kurām ir tikai viena ārsiena, bet labā puse — stūra istabām.



9. zīm. Nomogramma telpu siltuma zudumu tuvinātai noteikšanai.

Telpu sienu garums atzīmēts uz nomogrammas attiecīgām malām. Telpu augstums īpaši nav norādīts, pieņemot, ka tas atrodas apmēram 2,8...3,0 m robežās.

3. §. CENTRALĀS ŪDENIS GRAVITACIJAS APKURES SISTEMAS DARBĪBAS PRINCIPS

No fizikas zināms, ka ūdenim piemīt īpašība līdz ar temperatūras maiņu mainīt arī tilpumu. Dalot ūdens tilpumu ar tā svaru, dabū īpatnējo tilpumu v . Pretēji proporcionāls īpatnējam tilpumam ir īpatnējais svars

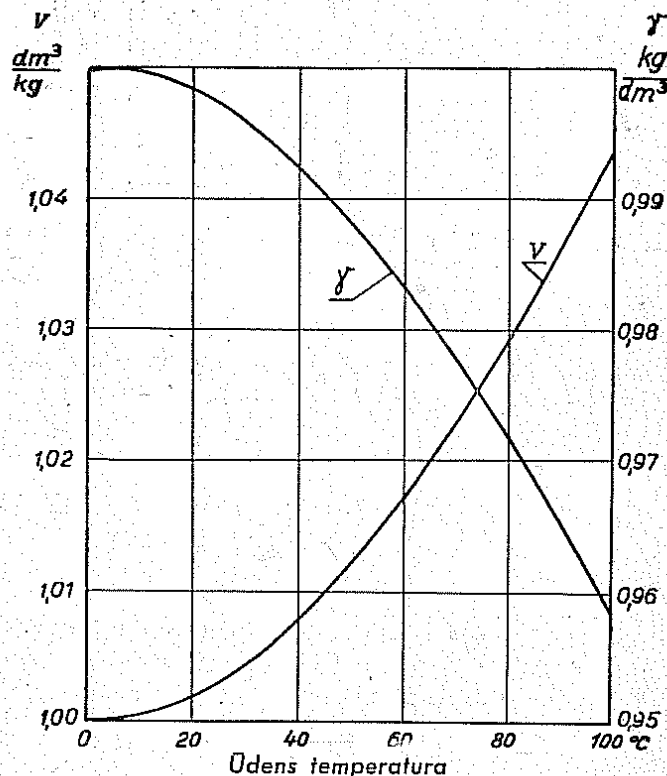
$$\gamma = \frac{1}{v} \text{ kg/dm}^3. \quad (8)$$

Gravitacijas ūdens apkures sistemu darbībā ūdens īpatnējā svara maiņai atkarībā no temperatūras maiņas ir izšķiroša nozīme. Tās paskaidrošanai aplūkosim 10. zīmējumā attēloto diagrammu, no kuras izriet, ka, tempera-

turai paaugstinoties, piemēram, no $+50^{\circ}\text{C}$ līdz $+80^{\circ}\text{C}$, ūdens īpatnējais svars samazinās par

$$\Delta\gamma = \gamma_{50} - \gamma_{80} = 0,98807 - 0,97152 = \\ = 0,01655 \text{ kg/dm}^3,$$

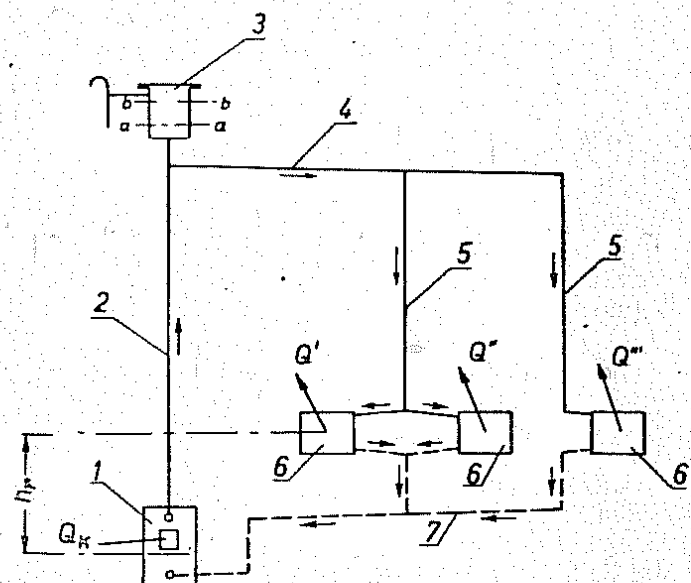
tātad ūdens karsējot «kļūst vieglāks».



10. zīm. Ūdens īpatnējais tilpums V un īpatnējais svars γ pie dažādām temperatūrām $0 \dots 100^{\circ}\text{C}$ temperatūru diapozonā.

Sīs ūdens fizikālās īpašības dēļ noris dabiskā cirkulācija centralās apkures sistēmas cauruļvadu konturos.

Iekams sākam aplūkot gravitācijas apkures sistēmas darbības principu, iepazīsimies ar tās galvenām detaļām. 11. zīmējumā attēlota apkures sistēmas principiāla schema.



11. zīm. Centralās (gravitācijas) apkures sistēmas principiāla schema.

1 — siltuma generators; 2 — galvenais stiebrs; 3 — izplešanās trauks; 4 — sakarsētā ūdens turpgaitas vads; 5 — nozarotie stiebri; 6 — radiatori; 7 — atpakaļgaitas vads.

Šīs sistēmas darbība noris šādi: siltuma generatorā 1 ūdeni sakarsē (pievada siltuma daudzumu Q_k). Tur līdz ar temperatūras paaugstināšanos samazinās ūdens īpatnējais svars.

Tajā pašā laikā apkures sistēmas tālākos posmos, it īpaši radiatoros, ūdens atdziest (novada siltuma daudzumus Q' , Q'' , Q''') un tā īpatnējais svars savukārt palielinās (10. zīm.).

Tā kā apkures sistēmas cauruļvadi 2, 4, 5 un 7 savieno siltuma ģeneratoru 1 un radiatorus 6 noslēgtā

konturā, tad ūdens masu īpatnējo svaru starpības rezultātā atdzisušās — smagākās ūdens masas cenšas pārvietoties uz kontura zemākām vietām, bet sakarsētās — vieglākās ūdens masas paceļas uz augstākām. Notiek dabiskā (gravitacijas) ūdens cirkulācija visā apkures sistēmā. Karstā ūdens (siltumnesēja) cirkulācijas virzienis apkures sistēmas atsevišķos elementos parādīts 11. zīmējumā ar bultiņām. Zīmējumā ar pilnām līnijām (kā tas pieņems ūdens centralās apkures projektos) attēloti sakarsētā ūdens cauruļvadi, bet ar pārtrauktām — atdzisušā ūdens vadi.

Cirkulācijas intensitāti sistēmā noteic karstā un atdzisušā ūdens masu savstarpējais izvietojums konturā.

Labāk darbojas tās apkures sistēmas, kurās dzesējošās virsmas (radiatori, cauruļvadi utt.) ir paceltas augstāk par siltuma generatoru (ir lielāks h).

4. §. SILTUMA GENERATORI

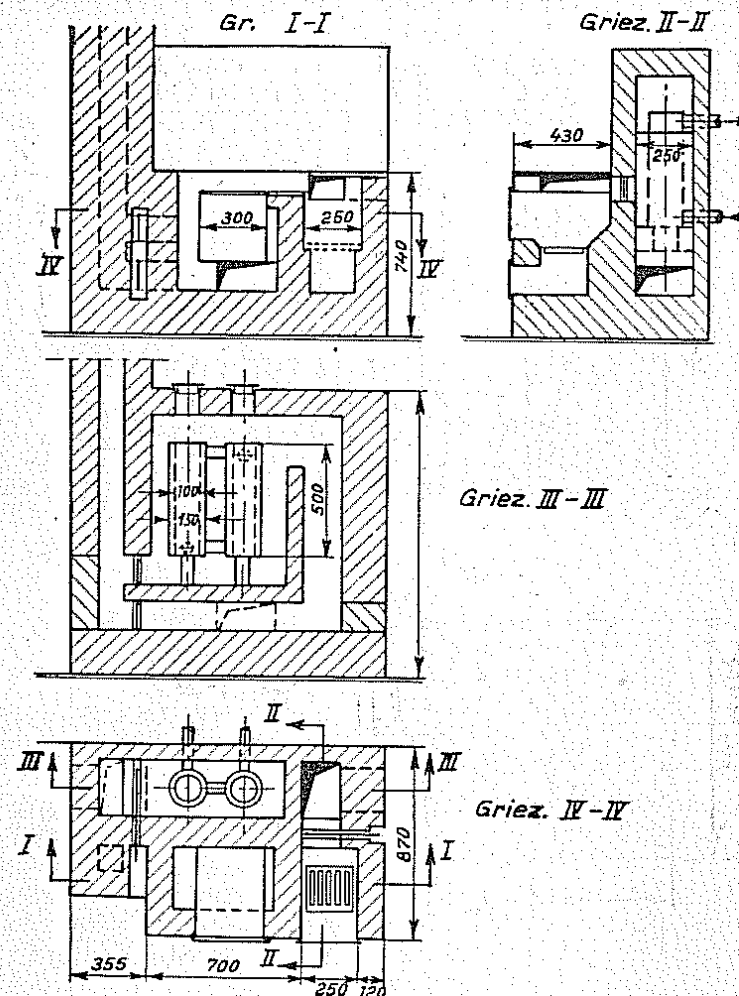
Svarīga nozīme centralās ūdens apkures iekārtošanā individuālās dzīvojamās mājās un atsevišķos dzīvokļos ir pareizai siltuma generatora tipa izvēlei un izbūvei.

Ja lielajās dzīvojamās ēkās pēc siltuma zudumiem nosaka vienīgi katlu sildvīrsmas lielumu un katlu skaitu un projektētājs daudz nedomā par uzstādāmā katla tipu, tad individuālām dzīvojamām mājām siltuma generatora izvēle un izbūvē iespējami samērā daudzi varianti.

Izdevīgāko no tiem katrā konkrētā gadījumā nosaka pirmām kārtām, vadoties pēc apsildāmā objekta sumarā siltuma patēriņa.

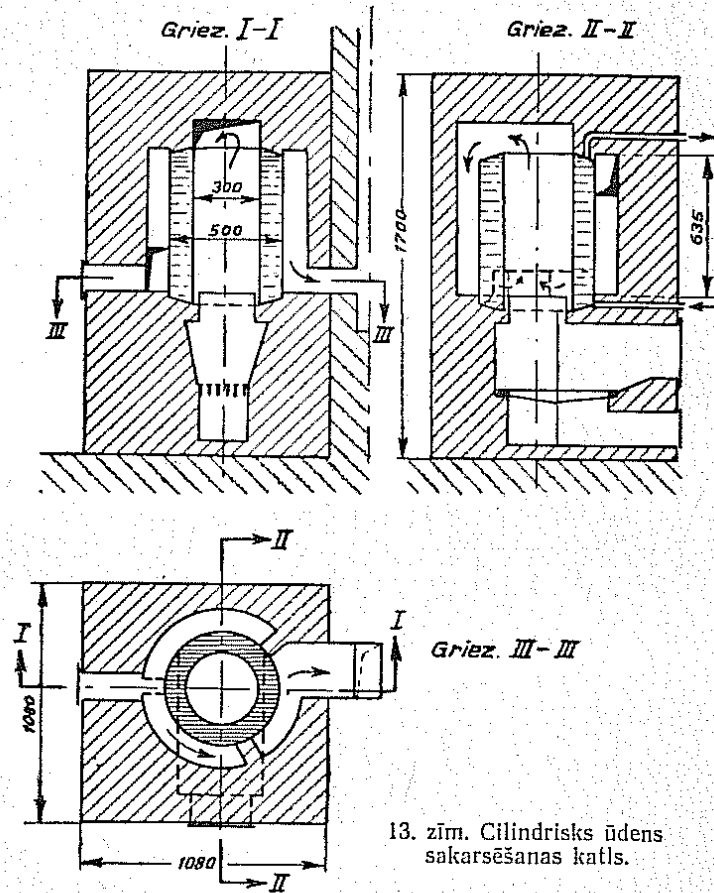
Ja tas nepārsniedz 4000 kkal/st , tad samērā bieži var iztikt ar nelielu virtuves pavarda pārbūvi, iemūrējot dūmu novadkanalā siltuma generatora elementus. Šādi pārbūvētā virtuves pavardā (sk. 12. zīm.) reizē ar ēdienu gatavošanu sakarsē arī ūdeni telpu apkurei.

Ja virtuvē malkas pavarda nav un ēdienu gatavošanai lieto, piemēram, šķidrās gāzes iekārtu, tad siltuma generatoru var izbūvēt arī pilnīgi neatkarīgu, kā tas parādīts 13. zīmējumā.



12. zīm. Ar virtuves pavardu apvienots apkures sistēmas siltuma generators.

Ja individualo dzīvojammo māju īpašniekiem ir atsevišķas mazgabarita centralas apkures katlu sekcijas, tad no tām var sakomplektēt joti labu siltuma ģeneratoru.

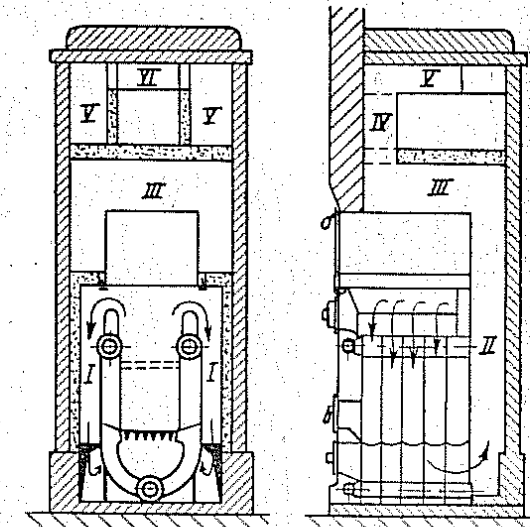


13. zīm. Cilindrisks ūdens sakarsēšanas katls.

toru. Ārējo apvalku var izgatavot no podiņiem — krāsns veidā (14. zīm.).

Ja objekta siltuma patēriņš ir lielāks par 3000 kkal/st , bet nepārsniedz 9000 kkal/st , arī tad siltuma ģeneratoru vēl var veidot kopējā blokā ar virtuves pavardu.

Atšķirībā no iepriekš minētās konstrukcijas, kur ir viena kurtuve, jāizbūvē vēl otra kurtuve siltuma ģeneratora intensivākai karsēšanai apkures perioda aukstākajā laikā. Tālāk 15. zīmējumā attēlots doc. A. Gračeva konstruētais šāda veida virtuves pavadrs ar iemūrētiem ūdens karsētājiem telpu centralai apkurei un karstā ūdens apgādei.



14. zīm. Siltuma ģeneratora dzīvokļa centralai apkurei.

Pavarda ārejie gabariti ir $0,77 \times 1,67 \times 0,85 \text{ m}$. Tam ir divas kurtuves. Pirmajā kurtuvē kurina, gatavojojot ēdienu. Dūmgāzes reizē uzsilda arī karstā ūdens rezervuaru. Vasaras periodā, izņemot tos gadījumus, kad gatavo vannu, otrā kurtuve netiek lietota un attiecīgās dūmejas (starp kurtuvēm) ar aizbīdņiem noslēdz. Dūmgāzes no pirmās kurtuves, kuras apskalojušas cepeškrāsnī, pa apakšējo kanalu aizplūst skurstenī.

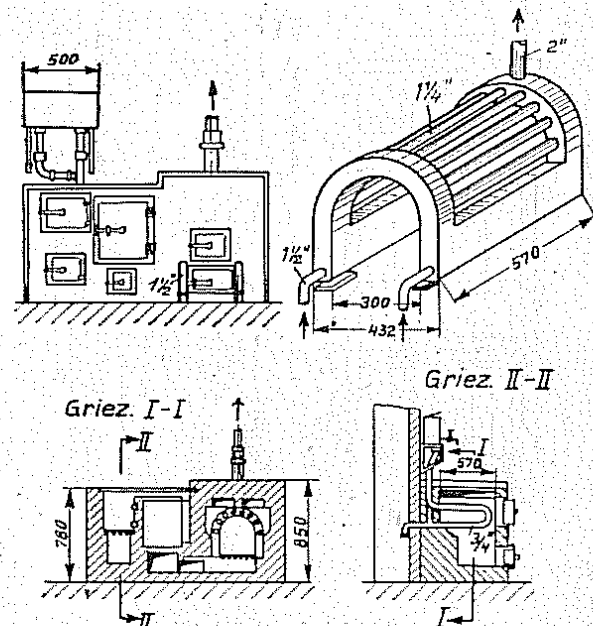
Telpu apkures periodā minētos aizbīdņus atver. Tad pirmās kurtuves dūmgāzu siltums vēl tiek tālāk izmantots apkures sistemas siltuma ģeneratora karsēšanai.

Kad ārējā gaisa temperatūra nokrit līdz $t_{\text{ai}} = -4 \dots -5^{\circ}\text{C}$, pirmās kurtuves aizejošo dūmgāzu siltums kļūst

nepietiekoš ģeneratora sakarsēšanai un regulari jākurina otrā kurtuve.

Protams, var būt arī tā, ka ēdienu negatavo uz pavarda, tad kurina vienīgi otro kurtuvi.

A. Gračeva konstrukcijas virtuves pavardu izgatavo no parastiem kieģeļiem vai podinjiem; kurtuves iekšsierias izklāj ar uguns izturīgiem kieģeļiem.



15. zīm. A. Gračeva konstrukcijas virtuves pavards.

Virs pavarda novieto tvertni karstam ūdenim virtuves vajadzībām, to apsilda īpaša liekto cauruļu grupa. Cauruļu režgi taisa no $\frac{3}{4}$ " caurulēm.

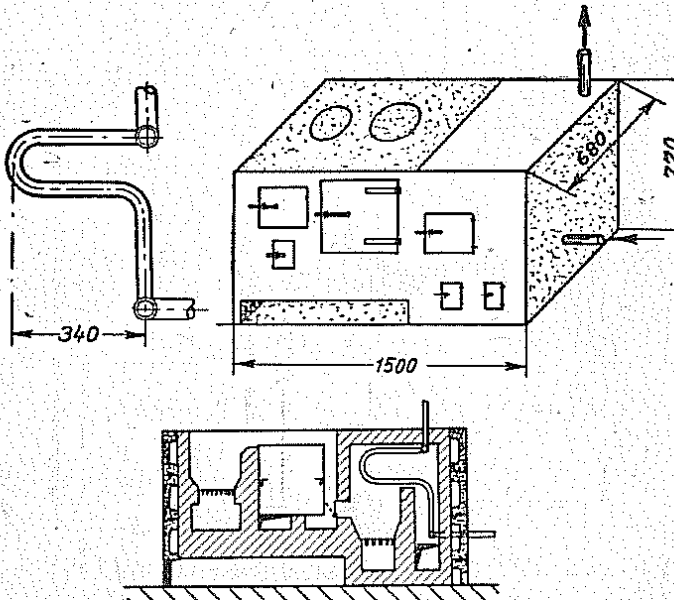
Vannām un dušām karsto ūdeni sagatavo citā tvertnē, ko uzstāda pie griesiemi, augštāvā, vai bēniņu telpās.

Tvertnes izgatavošanai lieto $3 \dots 4 \text{ mm}$ biezu dzelzs skārdu. Tās izmēri ir $0,6 \times 0,5 \times 0,5 \text{ m}$. Tvertni noslēdz blīvs vāks, kuru piestiprina ar atloku un M8 bultskrūvēm.

Šādi sagatavotu hermetisku tvertni var pievienot pilsētas ūdensvadam.

Tvertnes tilpums ir ~ 125 litri; sakarsē netieši ar karsto ūdeni no pavarda, kurš savukārt plūst cauri $1\frac{1}{4}$ " liekto cauruļu baterijai (sk. 42. zīm.). Cauruļu kopējais garums ir $\sim 3,5 \text{ m}$ (sildvirsmas $F = 0,85 \text{ m}^2$), atsevišķo liekto posmu gali iemetināti $2"$ kolektoros.

Aplūkotās konstrukcijas siltumapmainītājs spēj sakarsēt tvertnē esošo ūdeni līdz $\sim 65^\circ\text{C}$, kas pilnīgi



16. zīm. K. Dmitrijeva konstrukcijas virtuves pavards.

pietiek vienai vannai un dušai. Siltuma zudumu samazināšanai tvertnē no ārpuses ir jāizolē.

Virtuves pavardā iebūvētā apkures sistēmas siltuma ģeneratora sildvirsmas ir $1,1 \text{ m}^2$, ūdens tilpums — 30 litri, sildjauda $Q = 8000 \text{ kkal/st}$.

Ģeneratoru sakomplektē no 9 gab. $1\frac{1}{4}$ " caurulēm, kuru galus iemetina $3 \dots 4 \text{ mm}$ bieza skārda kolektoros.

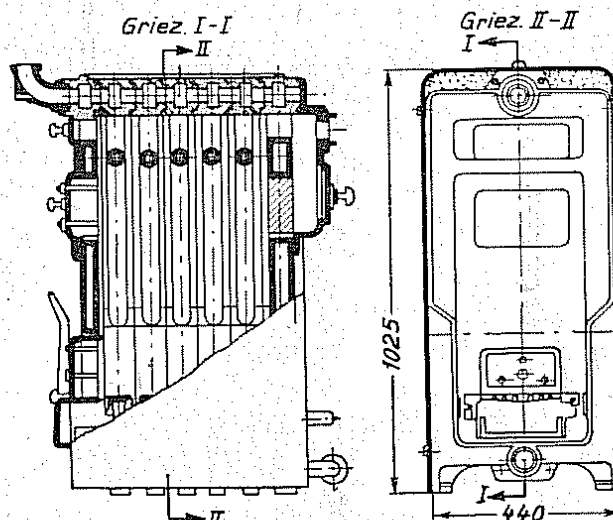
Karsto ūdeni izvada virspusē pa $2"$ cauruli, bet atdzīsušais ieplūst atpakaļ pa divām $1\frac{1}{2}"$ caurulēm.

Otrs līdzīgas konstrukcijas divkurtuvju virtuves pavards attēlots 16. zīmējumā.

Pirmās kurtuves dūmgāzes vasaras periodā novada pa dūmkalnu skursteni, neapskalojot apkures sistemas generatoru.

Ziemas periodā, kad jādarbina intensīvi arī apkures sistema, uguni kurina abās kurtuvēs.

Apkures sistemas siltuma ģeneratora cauruļu sildvirsmma — $0,8 \text{ m}^2$, sildjauda — 8000 kkal/st .



17. zīm. «BNIISTO-Mč» tipa centralās apkures katls.

K. Dmitrijeva konstrukcijas virtuves pavadrs Vissavienības konkursā premēts un ieteikts plašākai lietošanai individuālo ēku celtniecībā.

Tomēr jāatzīmē, ka tajos gadījumos, kad siltuma ģeneratora jauda pārsniedz 5000 kkal/st un telpu platība atļauj uzstādīt atsevišķu, no pavadra neatkarīgu, brīvi stāvošu agregātu (piemēram, pagrabtelpās, kāpņu telpas stūri, virtuve — blakus pavardam utt.), tad bieži vien ir izdevīgāk iegādāties rūpniecās ražotos mazjaudas katlus, kas darbojas ļoti ekonomiski un prasa mazāk uzraudzības.

17. zīmējumā attēlots ļoti izplatītais Vissavienības sanitari teknisko iekārtu zinātniskās pētniecības insti-

tuta (BNIISTO) konstrukcijas čuguna sekciju katls — «BNIISTO-Mč», kas speciāli piemērots mazām apkures sistemām.

Šim siltuma ģeneratoram ir kustināmi ārdi, un, tos pasvārstot, var viegli atdalīt degošo kurināmo no izdežiem un pelnīem. Ārdu konstrukcija vislabāk piemērota

6. tabula
Čuguna sekciju «BNIISTO-Mč» tipa centralās apkures katlu
techniskie rādītāji

Sekciju skaits gab.	Sildvirsmma m^2	Sildjauda tūkst. kcal/st	Katla garums cm	Svars kg
4	1,06	9,15	32	180
5	1,36	13,0	40	207
6	1,66	16,8	48	234
7	1,96	20,7	56	262
8	2,26	24,5	64	289
9	2,56	28,4	72	316
10	2,86	32,1	80	343
11	3,16	36,0	88	370
12	3,46	40,0	96	397

7. tabula
«BNIISTO-Mč» tipa sildjauda ($\text{kcal/m}^2\text{st}$), lietojot
dažādus kurināmos

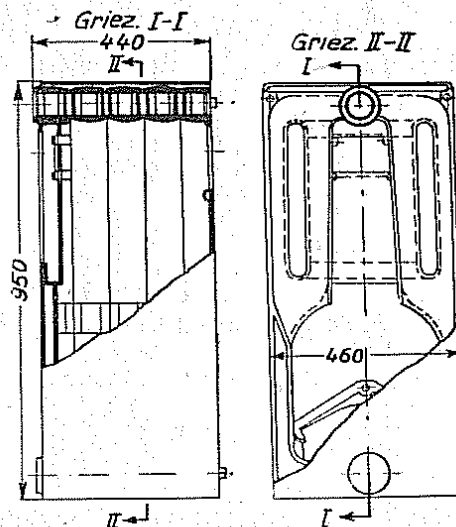
Nr. p. k.	Kurināmā veids	No 1 m^2 sildvirsmas nonemamais siltuma daudzums
1.	Antracīts . . .	9600 ... 11 000
2.	Kokss . . .	8500 ... 10 000
3.	Kūdra (melnā) . . .	8800 ... 9 150
4.	Malka . . .	6500 ... 7 000

augstkaloriju kurināmam (šķirotam antracitam un briktēm), bet sajaukumā labi deg arī kūdra un kokss. Pēc iedegšanās un uzpildīšanas tas lēni iztukšojas 8...10 stundās. Rūpniecās šos katlus izgatavo komplektētus ar 4...12 sekcijām. Iekārtas termiskais lietderības koeficients $\eta_k \approx 0,7$. Pārējie techniskie ekspluatacijas dati sniegti 6. un 7. tabulā.

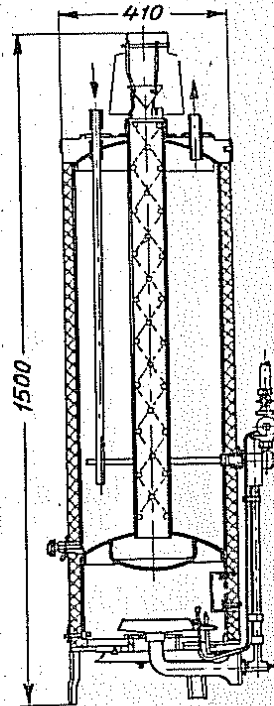
Aplūkotais «ВНИИСТО-Мч» apkures katls ir augšdedzes tipa, t. i., kurināmā slānis tajā deg no augšpuses.

Otrs mazjaudas apkures katls, ko konstruejuši Šķegoļevs un Vjazkovs, ir apakšdedzes tipa. Tas ir noderīgs arī gāzveida kurināmam.¹ Šī katla uzbūve ir līdzīga «ВНИИСТО-Мч» katlam; to izgatavo, sākot ar 3 sekcijām ($0,8 \text{ m}^2$ sildvirsmas), bet lielākiem ir 9 sekcijas ($2,0 \text{ m}^2$).

Viena pildijuma degšanas ilgums — līdz 12 stundām.



18. zīm. Šķegoļeva-Vjazkova konstrukcijas centralās apkures katls.



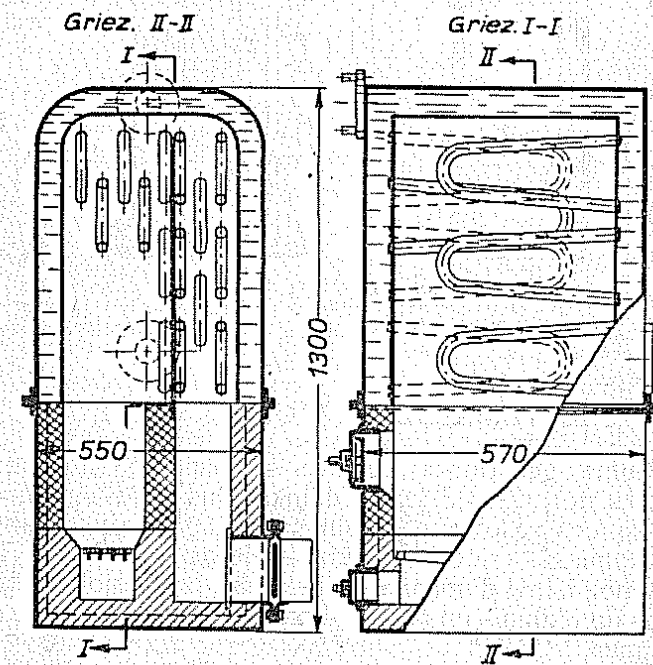
19. zīm. «AGB-80» tipa ūdens sildītājs.

Atsevišķu dzīvokļu, kā arī nelielu vienstāvu individuālo dzīvojamo māju apkurei, kuru siltuma ziņumi niesaistīšanu mūsu republikas enerģētikā, gāzes lietošana būs iespējama arī apkures vajadzībām.

¹ Sakarā ar tuvākos gados paredzēto plašo gāzes resursu iesaistīšanu mūsu republikas enerģētikā, gāzes lietošana būs iespējama arī apkures vajadzībām.

pārsniedz 4500 kkal/st , ja vien ir deggāze, tad kā siltuma generatoru var lietot gāzes ūdens sildītāju «АГВ-80».

Bez aplūkotajiem rūpniecības izgatavotiem siltuma generatoriem individualo māju būvētāji bieži vien lieto arī dažādus pašdarinātus agregatus, kas sametināti no atsevišķiem cauruļu elementiem un tvertnēm. Te jāmin, pie-

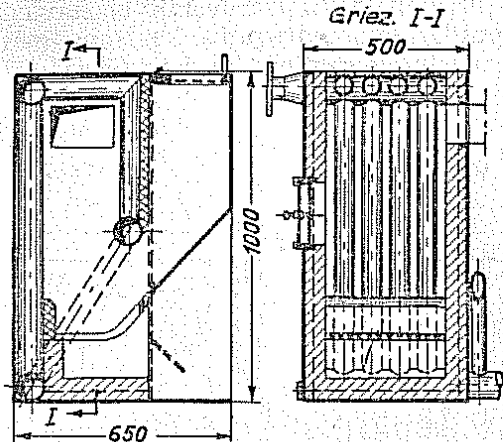


20. zīm. I. Livčaka konstrukcijas siltuma ģenerators

mēram, I. Livčaka konstrukcijas siltuma ģenerators (20. zīm.), kura sildjauda $Q = 21000 \text{ kkal/st}$, $F = 2,65 \text{ m}^2$ un ūdens tilpums $W = 85 \text{ l}$, un V. Cečika konstrukcijas siltuma ģenerators (21. zīm.), kura sildjauda $Q = 12000 \text{ kkal/st}$, $F = 1,2 \text{ m}^2$ un $W = 24 \text{ l}$.

Veidojot jaunas ģeneratoru konstrukcijas, nopietna

vērība jāpiegriež pareizai ūdens cirkulacijas nodrošināšanai, detaļu dimensionēšanai atbilstoši stipribai un apkārpošanas ērtībām.



21. zīm. V. Cečika konstrukcijas siltuma ģenerators.

5. §. SILTUMA GENERATORU SKURSTENI

Siltuma ģeneratora kurtuvē sadedzinātā kurināmā dūmgāzu novadišanai ierīko dūmkanalus un skurstenus.

Normalas velkmes nodrošināšanai jāgādā, lai plūsmu aerodinamiskās pretestības būtu pēc iespējas mazākas. To panāk, nolīdzinot dūmkanalu iekšsienas, izveidojot slaidas pārejas un likumus un pareizi dimensionējot kanalu šķersgriezumus.

Projektējot jaunus skurstenus centralai apkurei, minimalos šķersgriezuma izmērus parasti nosaka, vadoties pēc šādas empiriskas formulas:

$$F_{sk} = \frac{0,30 Q}{\sqrt{H}} \text{ cm}^2, \quad (9)$$

kur F_{sk} — minimalais skursteņa šķersgriezuma laukums cm^2 ;

Q — siltuma ģeneratora aprēķina jauda kcal/st ;

H — skursteņa augstums m .

3. piemērs. Divstāvu individualās dzīvojamās mājas siltuma ģeneratora aprēķina jauda ir $Q = 20\ 000 \text{ kcal/st}$.

Noteikt nepieciešamo skursteņa šķersgriezuma laukumu, ja tā augstums no kurtuves telpas viduslinijas līdz skursteņa galam ir $H = 14 \text{ m}$.

Pēc (9) vienādojuma

$$F_{sk} = \frac{0,03 \cdot 20\ 000}{\sqrt{14}} = 161 \text{ cm}^2.$$

Izbūvējot skursteni ar $1/2 \times 1/2$ šķērģeļu kanalu ($13 \times 13 \text{ cm}$), dabūjam

$$F_{sk} = 169 \text{ cm}^2 > 161 \text{ cm}^2.$$

Tālāk ievietotajā tabulā doti dažu biežāk lietojamo skursteņu dūmkanalu izmēri un tiem atbilstošās pieļaujamās siltuma ģeneratoru jaudas.

8. tabula

Skursteņu dūmkanala izmēri

Šķersgr. laukums cm^2	No šķērģeļiem mūrēti skursteņi		Skārda (apali) skursteņi diametrs cm	Siltuma ģeneratora aprēķina sildjauda, ja skursteņa augstums ir			
	dūmkanala izmēri			7 m	10 m	15 m	
	cm	ķieg.					
169	13×13	$1/2 \times 1/2$	15	14 900	18 350	21 800	
325	13×25	$1/2 \times 1$	20	28 600	35 400	42 000	
500	20×25	$5/8 \times 1$	25	44 000	54 300	64 500	

6. §. CENTRALĀS APKURES SILDĶERMENI

Centralās ūdens apkures sistēmas siltuma ģeneratorā ražoto siltumu nodod telpām ar sildķermēnu starpniecību.

Dzīvojamās telpās izplatītakie sildķermēni ir čuguna radiatori, bet tajās vietās, kur jaudis uzturas tikai periodiski (pagrabos, kāpņu telpās un vannas istabās), lieto arī ribotās cāruleres.

Apkures technikā pazīstami vairāki čuguna sekciju radiatoru tipi. Tā, piemēram, apgrozībā ir senāk ražotie «Польза № 3» un «Гамма № 4» radiatori, pēckara periodā

izlaistie radiatori «M-132» un «M-150», kā arī paši jaunākie «H-136» un «H-150».

Šo un vēl citu praksē izplatītāko radiatoru techniskie dati doti 9. tabulā.

9. tabula
Centralās apkures radiatoru techniskie dati

Radiatora tips Raksturojums	«M-132»	«M-150»	«Гигиенический» sekciju	«Польза № 3» «Гамма № 4»	«H-136»
Radiatoru augstums mm	583	583	570	590/585	580,5
Attālums starp pievienošanas caurulēm mm	500	500	500	500	500
Radiatora platumis mm	132	150	134	184	136
Vienas sekcijas sildvirsmi m ²	0,25	0,25	0,175	0,24/0,25	0,285
Radiatora svars, attiecīn. uz 1 m ² sildvirsmu kg/m ²	31,5	29,0	32,0	43,7/40	27,7

Apsildāmā telpā uzstādāmo radiatoru sildvirsmas liešumu resp. sekciju skaitu aprēķina pēc šāda vienādojuma:

$$F_{rad} = \frac{Q}{k \cdot (t_{rad} - t_{le})} \text{ m}^2, \quad (10)$$

kur Q — ar radiatoriem sedzamie¹ telpas aprēķina siltuma zudumi kcal/st ;

k — radiatora sildvirsmas siltuma transmisijas koeficients $\text{kcal}/\text{m}^2 \text{ st } ^\circ\text{C}$.

Skaitliskās vērtības dotas 10. tabulā.

$$t_{rad} = \frac{t_1 + t_a}{2} {}^\circ\text{C} — vidējā ūdens temperatūra radiatorā,$$

ja t_1 ir ūdens temperatūra ieplūdes vietā un t_a — izplūstot no tā;

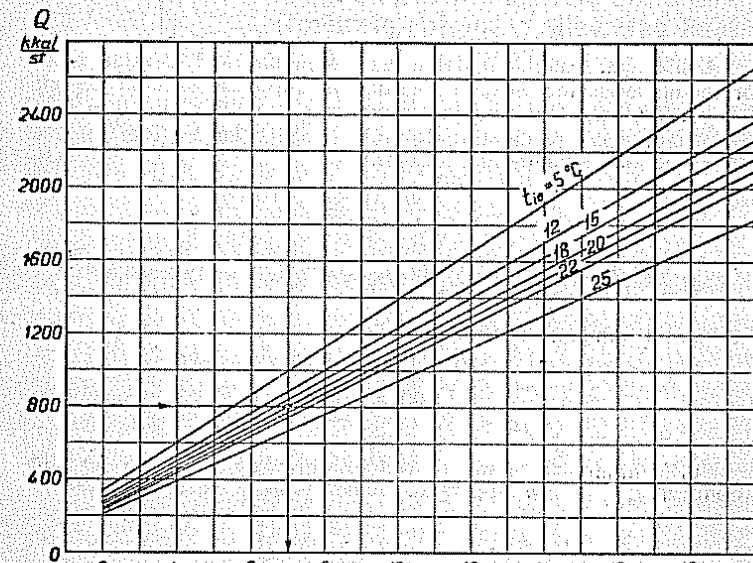
t_{le} — telpas temperatūra ${}^\circ\text{C}$.

¹ Individuālo dzīvojamā māju apkures sistēmu sildvirsmās jāieskaita arī telpas iemontētie neizolētie apkures sistemas cauruļvadi.

10. tabula
Radiatoru siltuma transmisijas koeficients $k \text{ kcal}/\text{m}^2 \text{ st } ^\circ\text{C}$

Sildķermēja tips	$t = t_{rad} - t_{le} [{}^\circ\text{C}]$			
	40... 50	50... 60	60... 70	70... 100
I. Cūguna radiatori: «M-132» un «M-150»	6,4	6,8	7,2	—
«Гигиенический»	7,2	7,5	7,9	—
«Польза № 3» un «Гамма № 4»	6,8	7,3	7,7	7,8
«H-136»	5,9	6,3	6,7	—
2. Cūguna ribotās caurules: viena caurule	4,5	4,5	5,0	5,5
divas caurules (viena virs otras)	4,0	4,2	4,5	4,5

Tuvinātos aprēķinos «M-132» un «M-150» tipa radiatoru sildvirsmu un sekciju skaita noteikšanai var lietot 22. zīmējumā attēloto grafiku. Neizolētu cauruļvadu izda-



22. zīm. Radiatoru «M-132» un «M-150» sildjauda Q pie dažādām telpas temperatūrām t_{le} ; siltumnesēja temperatūras $t_1 = 95^\circ\text{C}$ un $t_2 = 70^\circ\text{C}$. Caurplūde $G = 19 \text{ kg}/\text{m}^2 \text{ st}$.

Līto siltuma daudzumu uz apkārtni un ūdens atdzišanu, plūstot šādās caurulēs, var viegli aprēķināt pēc 3. pielikumā dotās nomogrammas.

Radiatora sildjauda citām siltumnesēja temperaturām parādīta 11. tabulā.

11. tabula

Radiatoru sildjauda Q pie dažādām siltumnesēja temperaturām turpvadā t_1 un atpakaļgaitas vadā t_2

$t_2^{\circ}\text{C}$	Q $\text{kcal}/\text{m}^2 \text{ st.}$				
	$t_1 = 95^{\circ}\text{C}$	90°C	80°C	70°C	—
	460	440	390	—	380
70	460	440	390	—	380
60	410	400	350	310	300
50	340	320	300	270	210

Grafisko materialu lietošanu apkures sistemas projek- tēšanā parādīsim sekojošos piemēros.

4. piemērs. Aprēķināt telpā uzstādāmam «M-132» tipa radiatoram nepieciešamo sekciju skaitu, ja aprēķina siltuma zudums $Q = 800 \text{ kkal}/\text{st}$, siltumnesēja temperatūra $t_1 = 95^{\circ}\text{C}$ un $t_2 = 70^{\circ}\text{C}$. Pēc 22. zīm. grafika dabūjam atbildi: $n = 7$ sekcijas. Rēķinot analitiski pēc 10. vienādojuma, atrodam, ka

$$F_{\text{rad}} = \frac{Q}{k(t_{\text{rad}} - t_{\text{le}})} = \frac{Q}{k \Delta t_{\text{vid}}} ;$$

$$\Delta t_{\text{vid}} = t_{\text{rad}} - t_{\text{le}} = \frac{t_1 + t_2 - t_{\text{le}}}{2} = \frac{95 + 70}{2} - 18 = 64,5^{\circ}\text{C}.$$

No 10. tabulas izriet, ka pie

$$\Delta t = 60 \dots 70^{\circ}\text{C} \quad k = 7,2 \text{ kcal}/\text{m}^2 \text{ st } ^{\circ}\text{C};$$

$$F_{\text{rad}} = \frac{800}{7,2 \cdot 64,5} = 1,723 \text{ m}^2.$$

No 9. tabulas dabūjam, ka radiatoriņam «M-132» 1. sekcijas sildvirsmā ir $f_{\text{rad}} = 0,25 \text{ m}^2$, tātad nepieciešamais sekciiju skaits

$$n_{\text{rad}} = \frac{F_{\text{rad}}}{f_{\text{rad}}} = \frac{1,723}{0,25} = 6,9.$$

Noapaļojot uz augšu, iznāk $n_{\text{rad}} = 7$ sekc.

5. piemērs. Aprēķināt grafoanalitiski 10 m garas $\frac{3}{4}$ " horizontālās, neizolētas caurules uz apkārtni atdoto siltuma daudzumu, ja

caurplūstošā ūdens temperatūra ir 50°C un telpā $t_{\text{le}} = 20^{\circ}\text{C}$. Caurplūstošā ūdens daudzums $G_{\text{fid}} = 100 \text{ kg}/\text{st}$.

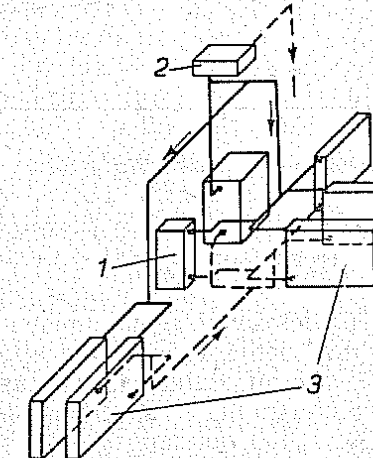
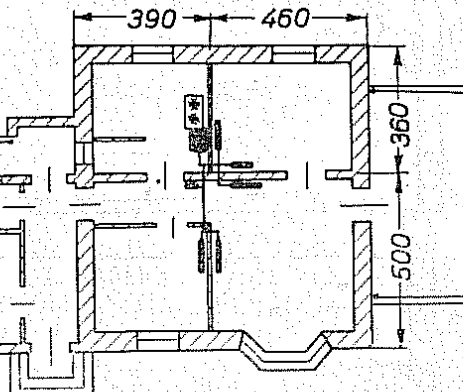
Pēc 3. pielikuma nomogrammas dabūjam, ka caurules atdotais siltuma daudzums ir apm. $290 \text{ kkal}/\text{st}$.

Tālāk pēc dotās caurteces varam noteikt, kāda būs ūdens temperatūra posma galā.

No nomogrammas izriet, ka

$$\Delta t = 3^{\circ}\text{C}, \text{ tātad}$$

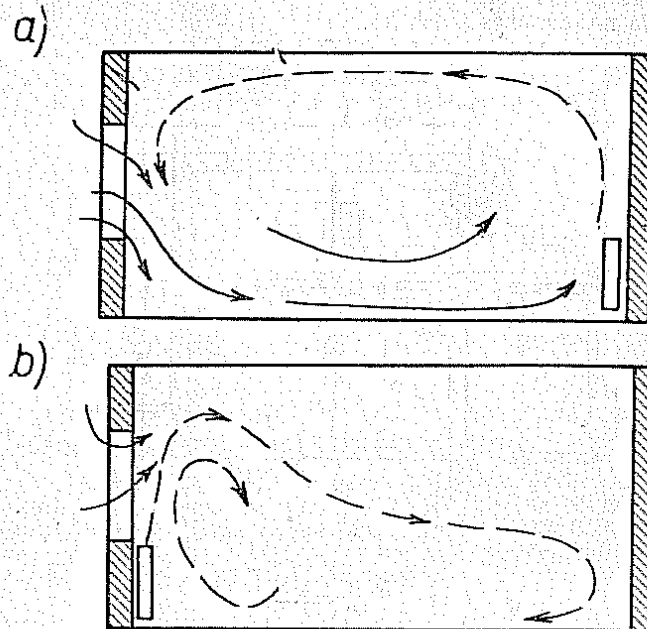
$$t_2 = t_1 - \Delta t = 50 - 3 = 47^{\circ}\text{C}.$$



23. zīm. Ēkas plāns un cauruļvadu schema ar centralās apkures radiatoriem pie telpas iekšienām:

1 — siltuma generātors; 2 — izplešanās trauks; 3 — radiatori.

Centralās apkures radiatorus parasti telpās izvieto zem logiem vai arī pie vēsākām ārsienām, lai panāktu telpā iespējami vienmērīgāku temperatūras sadalījumu. Palodzes nišu izmēri parasti ir šādi: augstums — 800 mm, dziļums — 100...130 mm.



Apzīmējumi: \leftarrow — sasildītā gaisa plūsma
 \rightarrow — aukstā gaisa plūsma

24. zīm. Gaisa cirkulacijas virzieni apkurinātā telpā:
a — radiators novietots pie iekšienas; *b* — radiators novietots pie ārsienas — zem loga.

Ja radiatoru novietošanai zem logiem nav izbūvētas īpašas nišas, tad tos montē apm. 30 mm attālumā no sieņas un 70...100 mm augstumā virs grīdas.

Novietojot radiatorus pie iekšienām, tos parasti nostiprina apm. 300...400 mm augstumā virs grīdas.

Dažkārt, izbūvējot atsevišķos dzīvokļos centralās apkures sistēmas, radiatorus izvieto tā, lai pēc iespējas vairāk saīsinātu caurulīvadus.

Šajā gadījumā radiatorus montē pie iekšienām, tuvāk siltuma generatoram (skat. 23. zīm.).

Sādas apkures sistēmas konstruktīvi ir daudz vienkāršākas un lētākas, tomēr temperatūras sadalījums telpā ir ļoti nevienmērīgs — līdzīgs krāšņu apkurēm.

Parasti šādās telpās grīdas tuvumā jūtams drēgnums, kaut gan telpas vidējā temperatūra ir normāla.

Gaisa cirkulacijas schema telpās ar tā izvietotiem radiatoriem parādīta 24. *a* zīmējumā.

Ja turpretim radiatori novietoti zem logiem un pie vēsākām ārsienām, siltā gaisa augšupejošā plūsma radiķali maina telpas temperatūru sadalījumu, kā tas redzams 24. *b* zīmējumā.

7. Š. IZPLEŠANĀS TRAUKI

Ievērojot iepriekš sacito par ūdens tilpumu, kas līdz ar temperatūras maiņām palielinās vai pamazinās, individualās dzīvojamās mājās centralās apkures sistēmas nedrīkst izbūvēt pilnīgi noslēgtas.

Parasti apkures sistēmas augstākā viētā uzstāda t. s. izplešanās trauku (sk. 11. zīm.). Tā uzdevums ir kompensēt ūdens tilpuma maiņas, lai sistēma būtu uzpildīta pie jebkura darbības režīma (apkures darbināšanas laikā ūdens līmenis atrodas joslā *b*—*b*, bet, pārtraucot kurināšanu, līmenis nokrītas līdz joslai *a*—*a*), jo dabiskā ūdens cirkulācija centralās apkures sistēmā noris tikai tad, ja cauruļu sistēma piepildīta ar ūdeni.

Izplešanās trauka telpa virs līmeņa ir savienota ar apkārtējo gaisu, tāpēc caur to izvada no centralās apkures sistēmas arī gaisu.

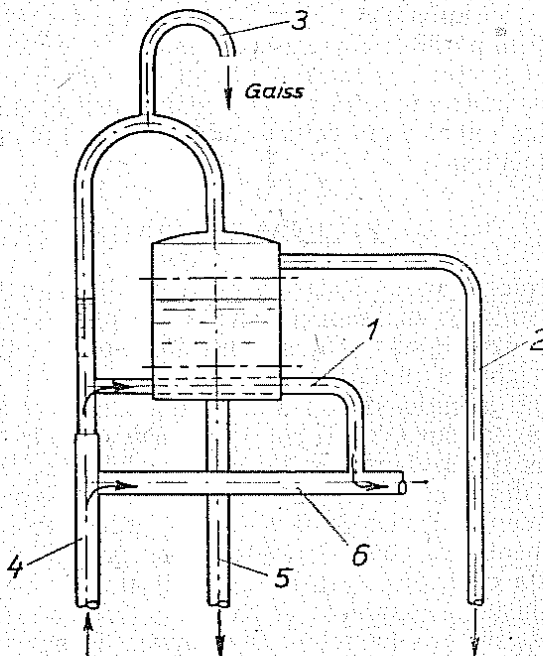
Šeit jāpiezīmē, ka, ūdeni karsējot, izdalās tajā absorbētais gaišs. Lai netiktu traucēta ūdens cirkulācija, tas no cauruļvadu tīkla nepārtraukti jaīzvada. Gaisa pūšīšu vieglākas pārvietošanās dēļ visus horizontalos cauruļvadus liek ieslīpi ar 0,5 līdz 1,0 cm pacēlumu uz katru tekošo metru vēlamā gaisa pārvietošanās virzienā.

Visvienkāršākais un parastākais izplešanās trauka novietojums ir tieši virs galvenā stiebra (27. zīm.).

Sādas apkures sistēmas darbojas ļoti stabili, gaisa izvadišana noris netraucēti.

Kā trūkums iepriekšminētajam izplešanās trauka novietojumam jāuzskata tas, ka traukā no sistēmas ieplūst viskarstākais ūdens. Ja trauks novietots bēniņu telpās, tad siltuma zudumu samazināšanai tas labi jāizole.

Vadoties no šiem apsvērumiem, praksē lieto arī citu schemu izplešanās trauka pievienošanai centralās apkures



25. zīm. Izplešanās trauks ar pievienojumu sistēmas atpakaļgaitas vadām:

1 — cirkulācijas caurule; 2 — pārplūdes caurule; 3 — atgaisošanas vads; 4 — galvenais stiebs; 5 — izplešanās trauka pievienojums atpakaļgaitas vadām; 6 — augšējā sadales magistrāte.

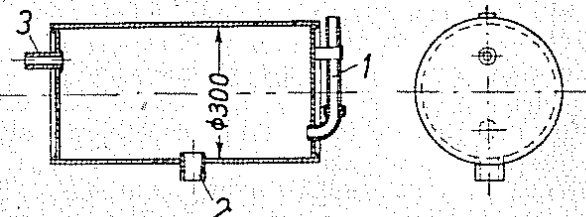
sistemai, pēc kuras tam ir mazāki siltuma zudumi (25. zīm.). Izplešanās trauku šeit ar īpašas caurules palīdzību (trauka dibenā) pievieno atpakaļgaitas vadām, kurā ūdens temperatūra ir viszemākā.

Lai tomēr trauku pasargātu pret varbūtēju aizsalšanu (ja novietots bēniņos), tā apakšējā daļā iemontē cirkulācijas cauruli 1, pa kuru plūst turpvāda karstais ūdens.

Gaisu no sistēmas izvada pa cauruli 3, bet liekais ūdens noplūst uz izlietni pa cauruli 2.

Kā jau sākumā norādīts, ūdens līmeņa augstums izplešanās traukā ir mainīgs un atkarīgs no ūdens temperatūras sistēmā.

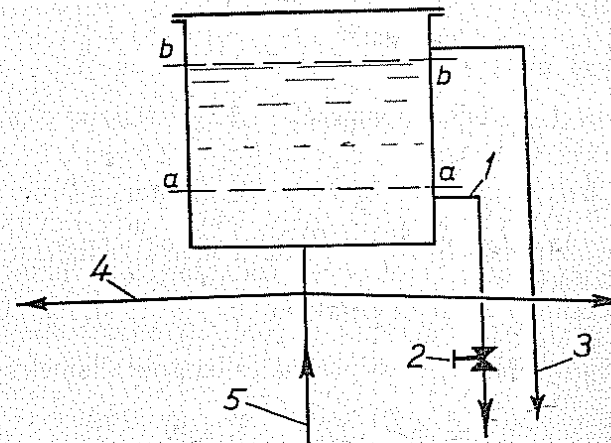
Vienstāvu ēkās, kur izplešanās trauku parasti novieto pie griešiem, līmeņa stāvokļa kontrolei ieriko līmeņrādītāju.



26. zīm. Vienstāvu ēkās centralās apkures sistēmas izplešanās trauks montāzai pie telpas griešiem:

1 — līmeņrādis; 2 — galvenā stiebra pievienojuma vieta; 3 — pārplūdes kanals.

Divstāvu ēkās, kā arī tad, kad izplešanās trauks novietots bēniņos, līmeņa kontrolei parasti iekārto t. s. signalcauruli (27. zīm.).



27. zīm. Bēniņu telpās novietojuma izplešanās trauka cauruļvadu schema:

a — ūdens līmenis nekurinātā sistēmai;
b — ūdens līmenis, sistēmu kurinot.
1 — signalcaurule; 2 — kontroles ventils; 3 — pārplūdes caurule; 4 — augšējās sadales magistrāle; 5 — galvenais stiebs.

No rīta, pirms apkures sistemas iekurināšanas, vispirms atgriež ventili 2, kas atrodas signalcaurules 1 galā. Ja pa cauruli sāk plūst ūdens, tad tas nozīmē, ka sistemā ūdens ir pietiekošā daudzumā. Ja turpretim ūdens pa šo cauruli neleķ, tad sistemu uzpilda tik ilgi, kamēr ūdens sāk tecēt. Pēc tam ventili 2 un arī ūdens pievadcaurules ventili aizgriež un sāk kurināšanu.

Ja sistemā iepildīts par daudz ūdens, tad darba laikā liekais ūdens noplūdis pa pārplūdes cauruli 3.

Izplešanās trauka tilpuma aprēķina, vadoties pēc sistemas ūdens tilpuma un siltumnesēja temperatūras (sk. 6. piemēru). Aprēķinātais tilpums atbilst izplešanās trauka joslai starp līmeniem a—a un b—b (27. zīm.). Tuvināti var pieņemt trauka tilpumu apm. 4,5...5% no sistemas kopējā tilpuma vai arī aprēķināt pēc sekojošiem empiriskiem vienādojumiem:

$$V_{izpl} = Q \times 0,002 [l], \quad (11)$$

kur

Q — apkures sistemas aprēķina sildjauda [$kkal/st$],
vai arī

$$V_{izpl} = \frac{0,03 Q}{t_1 - t_2} [l], \quad (12)$$

kur

t_1 un t_2 — ūdens temperatūra turpgaitas un atpakaļgaitas vados $^{\circ}\text{C}$.

Dažkārt praksē izplešanās trauka tilpumu (litros) pieņem, vadoties vienkārši pēc izbūvetās sildvirsmas kvadratmetriem vai arī kā $1/4$ no iebūvēto radiatoru sekciiju skaita.

Izplešanās traukus izgatavo no 2,5...3 mm bieza dzelzs skārda.

Gaisa izvadīšanas un pārplūdes cauruļu diametrs

$$d = 15 + 1,5 \sqrt{\frac{Q}{1000}} \text{ mm}, \quad (13)$$

bet ne mazāks par 25 mm.

Signalvaldu un cirkulacijas vadu izbūvē no $3/4"$ caurules.

6. piemērs. Centralās apkures sistēmā līdz izplešanās trauka atzīmei a—a (27. zīm.) iepildīti $V = 200 l$ ūdens ar temperatu $t = +10^{\circ}\text{C}$.

Noteikt ūdens tilpuma pieaugumu — ΔV , kāds radīsies apkures sistēmas kurināšanas laikā, ja vidējā temperatūra sistēmā sasniedgs $t' = +70^{\circ}\text{C}$.

Aprēķina pamatvienādojums ir

$$\Delta V = (v' - v) V \gamma [l], \quad (14)$$

kur v' un v — ūdens īpatnējais tilpums dm^3/kg karsēšanas beigās un sākumā.

Tātad, pārveidojot 14. vienādojumu pēc 8. vienādojuma, dabūjam

$$\Delta V = \left(\frac{1}{\gamma'} - \frac{1}{\gamma} \right) V \cdot \gamma = \left(\frac{1}{0,97781} - \frac{1}{0,99973} \right) 200 \cdot 0,99973 = \\ = 4,4788 l \approx 4,5 l.$$

v' un γ skaitliskās vērtības dažādām ūdens temperatūrām dotas 4. pielikumā.

8. §. CENTRALĀS APKURES SISTĒMU SCHEMAS

Izvēloties individuālo dzīvojamā māju apkures sistēmas, jāvadās galvenokārt no ēkas izbūves veida īpatnībām: stāvu skaita, pagrabtelpu izmantošanas iespējām, bēniņu izveidojuma utt.

Visplašākās iespējas apkures sistēmas schema izvēlē ir divstāvu ēkām ar pagrabtelpām, kas piemērotas kalla uzstādīšanai.

Jau grūtāk veidot apkures sistēmas vienstāva ēkās ar pagrabtelpām, bet visrūpīgāk ir jāpārdomā caurulvadu un radiatoru izvietojums, projektējot apkures sistēmas vienstāva ēkām bez pagrabtelpām.

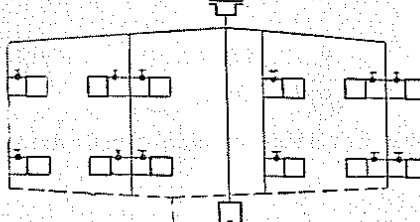
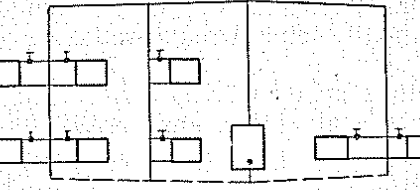
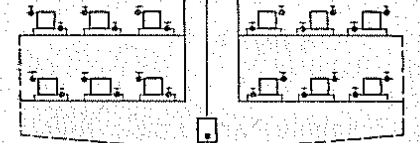
Tālāk ievietotajā tabulā sakopotas galvenās individuālās dzīvojamās mājas lietojamās centralās apkures sistēmu schemas.

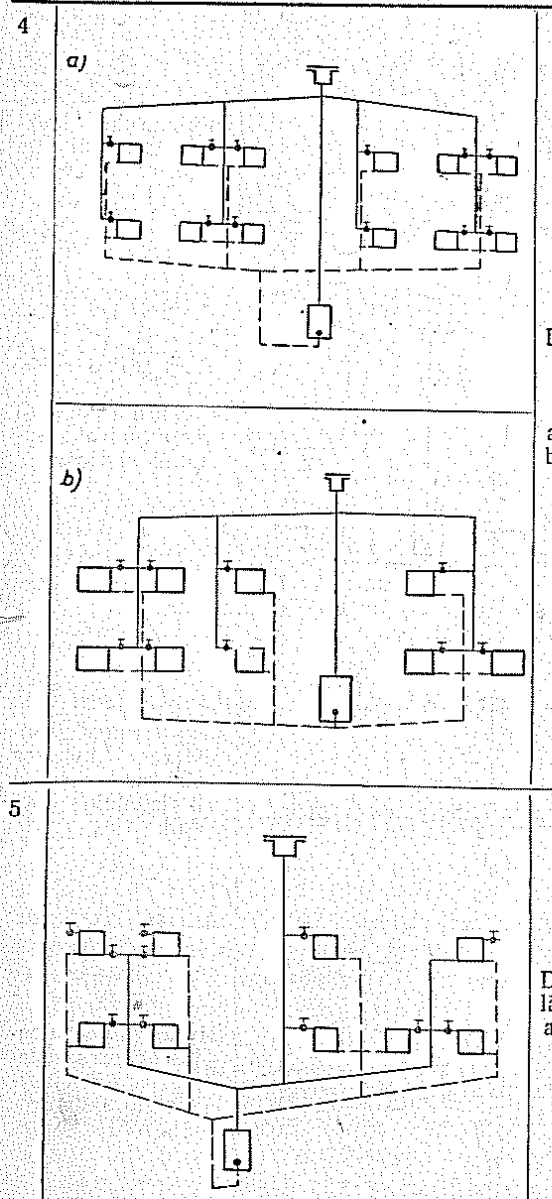
To pozitīvās un negatīvās īpašības ir šādas:

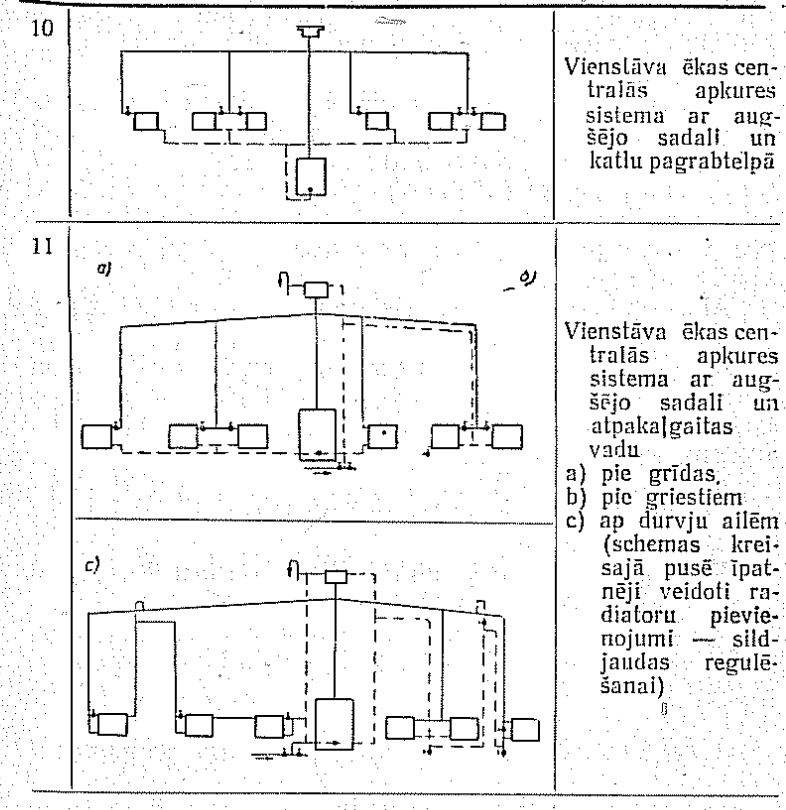
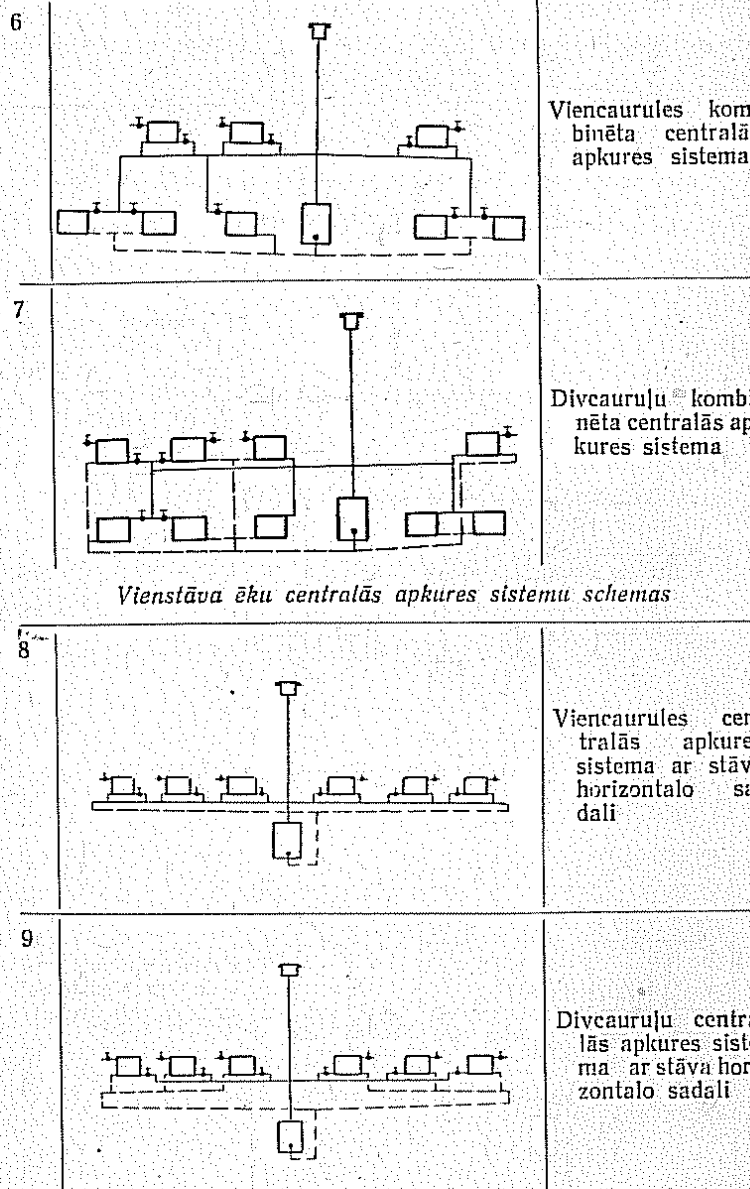
1) apkures sistēmas izbūvei pēc viencaurules schemas nepieciešams mazāk cauruļu nekā pēc divcaurulu schemas (sk. zīmējumus 12. tabulā) ar augšējo sadali, toties apakšējo stāvu radiatoriem vajadzīgs lielāks sekciju skaits.

12. tabula

**INDIVIDUALO DZIVOJAMO MĀJU CENTRALĀS APKURES
SISTEMU SCHEMAS**

Nr. p.k.	Schemas attēls	Schemas nosaukums
<i>Divstāvu ēku centralās apkures sistemu schemas</i>		
1	a)	
		Viencaurules centralās apkures sistemas ar horizontālo sadali pa stāviem
2	b)	
		Viencaurules centralās apkures sistemas ar augšējo sadali un katlu
3		
		a) pagrabtelpās, b) pirmajā stāvā





- 2) Viencaurules apkures sistēmās atsevišķu radiatoru sildjaudas regulēšana (ar radiatora krāna pagriešanu) ietekmē citu, tā paša stiebra, radiatoru darbību.
- 3) Divcaurulu apkures sistēmās ar apakšējo sadali nav īpaša galvenā stiebra (var ietaupīt caurules), un šāda iekārta var darboties arī daļēji uzpildīta (piemēram, tikai apakšējais stāvs), jo ūdens cirkulacijas konturi katram radiatoram noslēdzas atsevišķi. Zināmas neērtības minētās apkures sistēmās sagādā gaisa uzkrāšanās augšējā stāva radiatoros, tāpēc tiem jābūt ar krāniem, kas iemontēti to augšējā daļā gaisa izvadišanai.
- 4) Divstāvu ēkas bez pagrabtelpām, lietojot divcau-

ruju centralās apkures sistemu, pirmajā stāvā izvietotos radiatoros ūdens cirkulacija norit daudz sliktāk nekā otrā stāvā.

Zināmas priekšrocības minētajā gadījumā ir viencaurules apkures sistemām, jo ūdens cirkulacija tad abu stāvu radiatoros noris vienlīdz intensivi.

5) Jāatzimē, ka ēkas bez pagrabtelpām apkures sistemas pēc divcauruļu schemas ar apakšējo sadali, kā arī pēc viencaurules schemas ar stāva horizontalo sadali vispār nebūvē.

Abas minētās apkures sistemu schemas tikai daļēji var ieslēgt t. s. kombinētās schemās un ja ēkai ir 2 stāvi.

6) Vienstāvu ēkas bez pagrabtelpām apkures sistema obligati jāprojektē ar augšējo sadali. Attiecībā uz atpakaļgaitas vada novietošanu pastāv vairākas iespējas, piemēram, to var novietot

- zem telpas grīdas,
- pie grīdas, tieši zem radiatoriem vai
- pie griestiem.

Principala atšķiriba cirkulacijas konturu izveidojumos pastāv starp b) un c) variantu.

Noskaidrosim, kā dažādi novietotais atpakaļgaitas vads ietekmē ūdens cirkulacijas intensitati radiatoros.

a) Apkures sistema ar atpakaļgaitas vadu pie grīdas

Novietojot atpakaļgaitas vadu pie grīdas, darbojošos cirkulacijas spiedieni konturā var izteikt ar ūdens stabu spiedieni diferenci pēc šāda vienādojuma:

$$H = G_2 - G_1 \text{ [kg/m}^2\text{]}, \quad (15)$$

kur G_1 — ūdens staba spiediens kontura kreisās puses vertikalajā posmā;

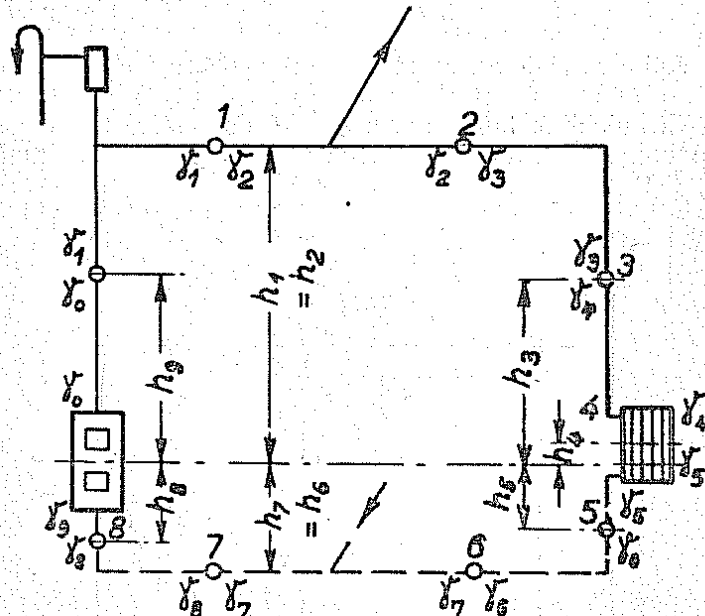
G_2 — tas pats labās puses vertikalajā posmā (sk. 28. zīm.).

Pēc 28. zīmējumā pieņemtajiem kontura posmu apzīmējumiem (γ — ūdens īpatnējais svars dotā punktā, h — šī punkta vertikalis attālums no katla ūdens viskarstākās joslas, ko parasti individualo dzīvojamo ēku apkures

generatoriem pieņem $\approx 150 \text{ mm}$ augstumā virs ārdiem) var sastādīt šādus vienādojumus:

$$G_1 = (h_1 - h_9)\gamma_1 + h_9\cdot\gamma_0 + h_8\cdot\gamma_9 + (h_6 - h_8)\cdot\gamma_8; \quad (16)$$

$$G_2 = (h_1 - h_9)\gamma_9 + (h_8 - h_4)\gamma_4 + h_4\cdot\gamma_5 + h_6\cdot\gamma_6 + (h_6 - h_5)\gamma_8. \quad (17)$$



28. zīm. Centralās apkures sistemas schema ar atpakaļgaitas vadu pie telpas grīdas: 1...8 cauruļvadu kontura atsevišķie posmi.

Saskaņā ar 15. vienādojumu

$$H = G_2 - G_1 = h_1\gamma_8 - h_9\gamma_3 + h_9\gamma_4 + h_4\gamma_4 + h_4\gamma_5 + h_6\gamma_6 + h_6\gamma_6 - h_6\gamma_6 - h_1\gamma_1 + h_9\gamma_1 - h_9\gamma_0 - h_8\gamma_9 - h_8\gamma_8 + h_8\gamma_8$$

vai, tālāk pārveidojot, dabūjam, ka

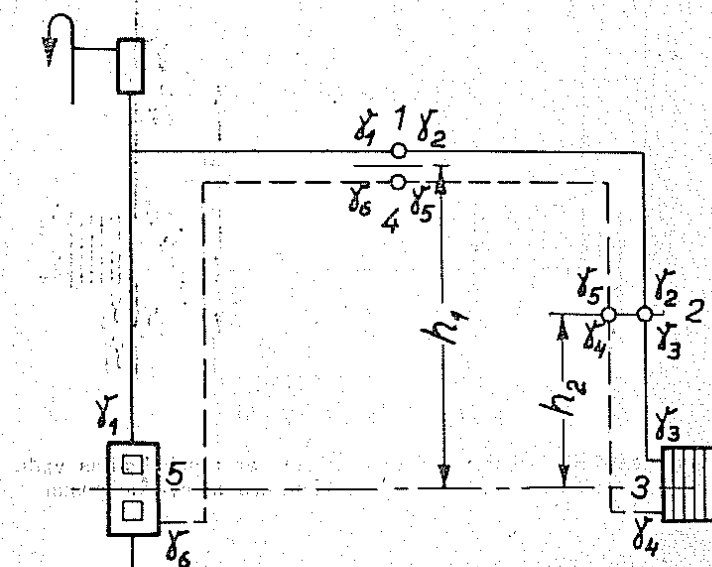
$$H = h_1(\gamma_8 - \gamma_1) + h_9(\gamma_4 - \gamma_3) + h_4(\gamma_5 - \gamma_4) + h_9(\gamma_1 - \gamma_0) - [h_6(\gamma_6 - \gamma_5) + h_6(\gamma_8 - \gamma_6) + h_8(\gamma_0 - \gamma_8)].$$

No iepriekšējā vienādojuma, kura pēdējais loceklis (kvadratiekavās) ir negatīvs, izriet, ka atpakaļgaitas vada atdzīšana, kad tas novietots pie grīdas, rada negatīvu cirkulacijas spiedienu, t. i., kavē ūdens dabisko cirkulaciju centralās apkures sistēmas cauruļvadu konturā.

Tālāk līdzīgā veidā varam analizēt otru atpakaļgaitas vada izvietošanas varianta īpatnības.

b) Apkures sistēma ar atpakaļgaitas vadu pie griestiem

Cirkulacijas kontura schematiskais attēls, novietojot atpakaļgaitas vadu pie griestiem, parādīts 29. zīmējumā.



29. zīm. Centralās apkures sistēmas schema ar atpakaļgaitas vadu pie telpas griestiem: 1...5 — cauruļvadu posmi.

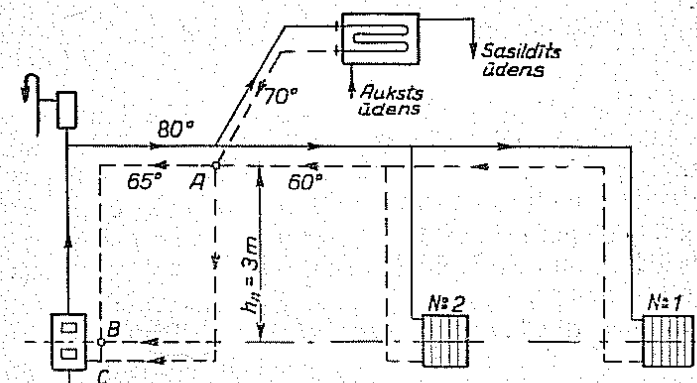
Izdarot konturā darbojošos cirkulacijas spiediena aprēķinu kā iepriekš, rezultātā dabūjam

$$H = h_1(\gamma_2 - \gamma_1) + h_2(\gamma_3 - \gamma_2) + h_1(\gamma_6 - \gamma_5) + h_2(\gamma_5 - \gamma_4).$$

Tā kā vienādojumā visi lielumi ir pozitīvi, tad jāsecina, ka šajā gadījumā atpakaļgaitas vadā ūdens dzišana nevis traucē, bet gan veicina cirkulāciju visā konturā.

Šāds analitiski iegūts secinājums var pamudināt centrālo apkures sistēmu būvētājus vienstāvu ēkās, kur nav pagrabu telpu, plaši lielot šo atpakaļgaitas vada schemu. Tāpēc šeit arī jānorāda, ka teoretiķais aprēķins vēl nepārāda schemas negatīvās puses, proti, jo tie viegli iespējamos cirkulacijas traucējumus konturos sakarā ar t. s. vietējo sakarsēšanās punktu izveidošanos apkures sistēmā. Lai to paskaidrotu, aplūkosim konkrētu šīs schemas piemēru.

30. zīmējumā attēlotai apkures sistēmai, lietojot pie telpas griestiem paceltu atpakaļgaitas vadu, punktā A



30. zīm. Kombinēta centralās apkures un karstā ūdens apgādes sistēmas schema.

pievienots karstā ūdens sasildīšanas iekārtas atpakaļgaitas vads.

Normalā darbības režimā sistēmas turpvadā ūdens temperatūra $t_1 = +80^\circ\text{C}$, bet atpakaļgaitas vadā $t'_2 = +60^\circ\text{C}$. Tomēr tajā laikā, kad vannas un dušas

nelieto, paaugstinās ūdens temperatūra arī attiecīgā nozarojuša atpakaļgaitas vadā (piemēram, līdz $+70^{\circ}\text{C}$).

Apzīmēsim sajaukšanās punkta A augstumu virs katla karsēšanas zonas ar h_A (sk. 30. zīm.), tad sakarsēšanās punkta rašanās dēļ radiatoru Nr. 1 un Nr. 2 cirkulacijas konturos izveidosies negatīvs cirkulacijas spiediens

$$-H = h_A \cdot |\Delta\gamma| \frac{t_A}{t_2} \text{ mm ūd. st.} \quad (18)$$

Ja ūdens temperatūra aiz sajaukšanās punkta «A» iestātos, piemēram, $t_A = 65^{\circ}\text{C}$ un augstums $h_A = 3,0 \text{ m}$, tad

$$-H = 3(983,24 - 980,590) = 7,95 \text{ mm ūd. st.}$$

$|\Delta\gamma| \frac{t_A}{t_2}$ noteic pēc 4. pielikuma tabulas datiem.

Kā no aprēķina izriet, negatīvais cirkulacijas spiediens jūtami samazinās karstā ūdens pieteci radiatoriem, tie atdzīs vēl vairāk, palielināsies $-H$, un beidzot ūdens cirkulacija radiatoru konturos pilnīgi apstāsies.

Šādi vietējas sakarsēšanās punkti, gan ar mazāk izteiktu iedarbību nekā aplūkotā schemā, izveidojas it visās apkures sistemās.

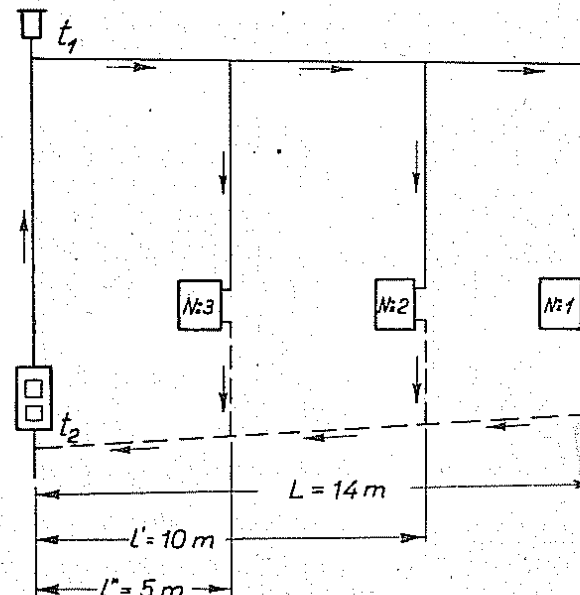
Protams, divstāvu ēkās un ēkās ar katliem pagrabtelpā aktīvais cirkulacijas spiediens, kas darbojas apkures sistēmā, ir ievērojami lielāks nekā vietējos sakarsēšanās punktos izraisītais, tāpēc šīs sistēmas darbojas daudz stabilāk.

Pievēršoties vienstāva ēku (bez pagrabtelpām) centralās apkures sistēmām, jānorāda uz metodēm, kā cīnīties pret vielējo sakarsēšanās punktu izraisītām sekām un kā novērst to rašanos.

Esošās nestabili darbojošās apkures sistēmās vietējos sakarsēšanās punktus novērt, pārvietojot attiecīgos pievadus ar mainīgu temperatūru no attālākiem punktiem katla tiešā tuvumā, piemēram, no punkta A punktā C

(30. zīm.). Ja ir iespējams, saplūdes punktus izveido katla viduslinijas (precīzāk 150 mm virs ārdiem) augstumā, piemēram, punktā B (30. zīm.). Šajā gadījumā negatīvais cirkulacijas spiediens vispār neatlīstīsies.

Projektējot jaunas centralās apkures sistēmas, vienmēr jācenšas schemu izveidot tā, lai atpakaļgaitas savienojuma punktos pienākošā ūdens temperatūra atsevišķos pievados būtu pēc iespējas vienāda. To panāk, ja siltuma



31. zīm. Vienstāva ēkas centralās apkures schema.

generatoram tuvāk novietotos radiatorus darbina ar liešaku temperatūru kritumu nekā tālākos.

Sacītā paskaidrošanai aplūkosim piemēru.

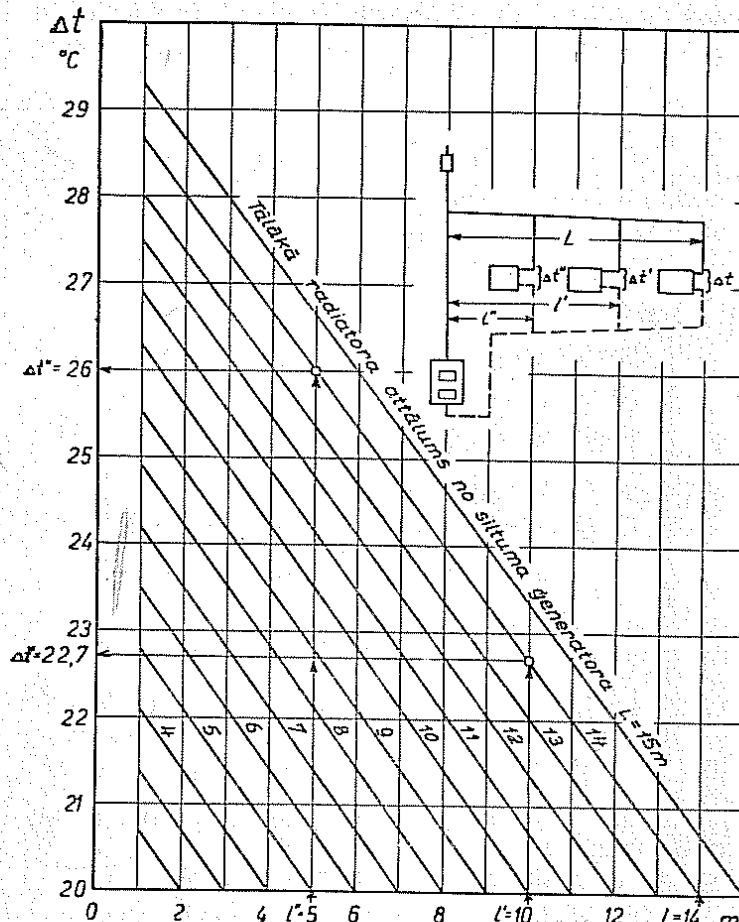
7. piemērs. Noteikt 31. zīmējumā attēlotai apkures sistēmai dažādos attālumos no siltuma generatora novietotiem radiatoriem vēlamos siltumnesēja temperatūras kritumus.

Uzdevuma atrisināšanai izlietosim 32. zīmējumā attēloto nomogrammu.

No nomogramas izriet, ka radiatoram Nr. 1, ieturot temperatūras kritumu $\Delta t_{Nr.1} = 20^\circ\text{C}$, pārējos divos radiatoros attiecīgiem temperatūru kritumiem jābūt

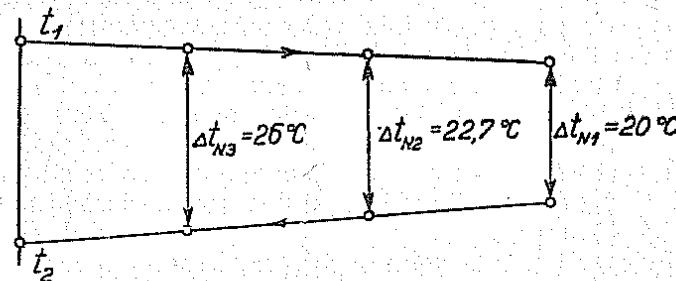
$$\Delta t_{Nr.2} = 22,7^\circ\text{C} \text{ un}$$

$$\Delta t_{Nr.3} = 26,0^\circ\text{C}.$$



32. zīm. Nomogramma siltumnesēja temperatūru krituma aprēķināšanai vienstāva individualo dzīvojammo māju centralās apkures sistemu radiatoriem.

Šajā gadījumā temperatūra aprēķina konturā mainīties vienmērīgi (sk. 33. zīm.) un neradīsies vietējie sakarsēšanās punkti.



33. zīm. Siltumnesēja temperatūru krituma grafiks 7. piemērā minētajai apkures sistēmai.

9. §. CENTRALĀS APKURES SISTEMAS CAURUĻVADU DIMENSIONĒŠANA

Individualo dzīvojammo māju centralās apkures sistemas cauruļvadus principā dimensionē līdzīgi daudzstāvu ēku apkures sistemām ar dabisko cirkulaciju.

Tā kā šie jautājumi plaši ir aplūkoti specialajā literatūrā, tad šeit ierobežosimies tikai ar mazstāvu ēku apkures sistemu projektēšanas īpatnībām.

Individualās dzīvojamās mājas, it īpaši vienstāva ēkās bez pagrabtelpām, siltuma ģenerators ar radiatoriem atrodas apmēram vienā līmenī, un vienīgās, augstāk paceltās dzesējošās virsmas, kur, ūdenim atdziestot, rodas aktivais cirkulacijas spiediens — ir nedaudzies sistemas augšējie cauruļvadi.

Ja pēdējos izvēlas ar nepietiekošu šķērsgrīzumu, plūsmas hidrauliskās pretestības ir tik lielas, ka traucē vajadzīgā ūdens daudzuma pieplūdi radiatoriem un tie vāji silda.

Tāpēc cauruļvadu dimensionēšana ir jāsāk ar aktivā cirkulacijas spiediena aprēķinu alsevišķiem schemas konturiem. To izdara pēc šāda vienādojuma:

$$H = bh_1(l + h_1) \pm h_r(\gamma_2 - \gamma_1) \text{ kg/m}^3 \text{ vai mm tld. st, (19)}$$

kur

- b — cauruļvadu izolaciju raksturojošais koeficients;
- $b = 0,4$ — neizolētu cauruļvadu sistemām, kā arī tādām, kur izolēts ir tikai galvenais stiebs (no katla uz augšu līdz izplešanās traukam);
- $b = 0,34$ — sistemām ar izolētu galveno stiebru un atpakaļgaitas cauruļvadiem;
- $b = 0,16$ — sistemām ar izolētiem (piemēram, zem apmetuma — kanalos ievietoti) cauruļvadiem;
- h_1 — apkures sistemas turpvada augstums virs siltuma ģeneratora karstākās joslas (skat. norādījumus 51. un 55. lpp.);
- t — aprēķināmā kontura stiebra horizontalais attālums no galvenā stiebra [m];
- γ_1, γ_2 — ūdens tilpuma svars turpgaitas un atpakaļgaitas vadā kg/m^3 ;
- h_r — sildķermēņa viduslīnijas vertikāla novirze (sk. 28. zīm. lielumu h_4) no siltuma ģeneratora karstākās joslas [m]. «+» zīme jāievieto vienādojumā tad, ja radiatora viduslīnija ir virs katla karstākās joslas, «-» zīme, ja otrādi.

Aprēķināmā cauruļvada posmam caurplūstošā ūdens daudzumu nosaka pēc vienādojuma:

$$G = \frac{Q}{\Delta t} \text{ kg/st}, \quad (20)$$

kur Q — aprēķina posmam ar karsto ūdeni caurvadāmais siltuma daudzums $kkal/st$;

Δt — siltumnesēja temperatūras kritums sistemā $^{\circ}\text{C}$.

Vienstāva individualo dzīvojamo ēku apkures sistemām ar siltumnesēja aprēķina parametriem $t_1 = 90^{\circ}\text{C}$ un $t_2 = 70^{\circ}\text{C}$ vai arī retāk $t_1 = 80^{\circ}\text{C}$ un $t_2 = 60^{\circ}\text{C}$, temperatūras kritums ir

$$\Delta t = t_1 - t_2 = 90 - 70 = 80 - 60 = 20^{\circ}\text{C}.$$

Dažos gadījumos (divstāvu ēkām), ja apkures sistēmu projektē temperatūrām $t_1 = 95^{\circ}\text{C}$ un $t_2 = 70^{\circ}\text{C}$, tad $\Delta t = 25^{\circ}\text{C}$.

Tālākā cauruļvadu hidrauliskā aprēķina gaita līdzīga tai, kādu lieto vairākstāvu apkures sistēmu projektēšanā. Skaitļošanas rezultatus sakārtot 60. lpp. ievietotās veidlapas veidā.

Vienam tekošam metram caurules pieļaujamo berzes pretestību aprēķina pēc vienādojuma

$$R_{lm} = \frac{0,5 H}{L} \text{ mm ūd. st/m vai } kg/m^2 \text{ m}, \quad (21)$$

kur

H — kontura aktivais cirkulacijas spiediens (nosaka kāms pēc 19. vienādojuma) $mm \text{ ūd. st}$;

L — kontura kopējais garums m.

No 21. vienādojuma izriet, ka kontura hidraulisko berzes pretestību pārvarēšanai aprēķina pirmajā tuvinājumā esam rezervējuši 50% no visa aktivā cirkulacijas spiediena.

Centralās apkures sistēmās bez minētām cauruļvadu berzes pretestībām ir arī dažādas vietējās pretestības (likumi, savienojumi, nozarojumi, pārejas vietas utt.), kuru raksturošanai hidrauliskos aprēķinos ievests t. s. vietējo pretestību koeficients ξ . Tā skaitīskās vērtības dažādiem apkures sistēmu elementiem ir dotas 5. pielikumā.

Atlikušos 50% no aktivā cirkulacijas spiediena var izmantot šo kontura vietējo pretestību Z pārvarēšanai.

$$Z = \sum \xi \frac{v^2}{2g} \gamma \text{ mm ūd. st vai } kg/m^2, \quad (22)$$

kur

v — ūdens plūsmas ātrums caurulē m/sek . (lielumu Z ieraksta veidlapas 10. ailē).

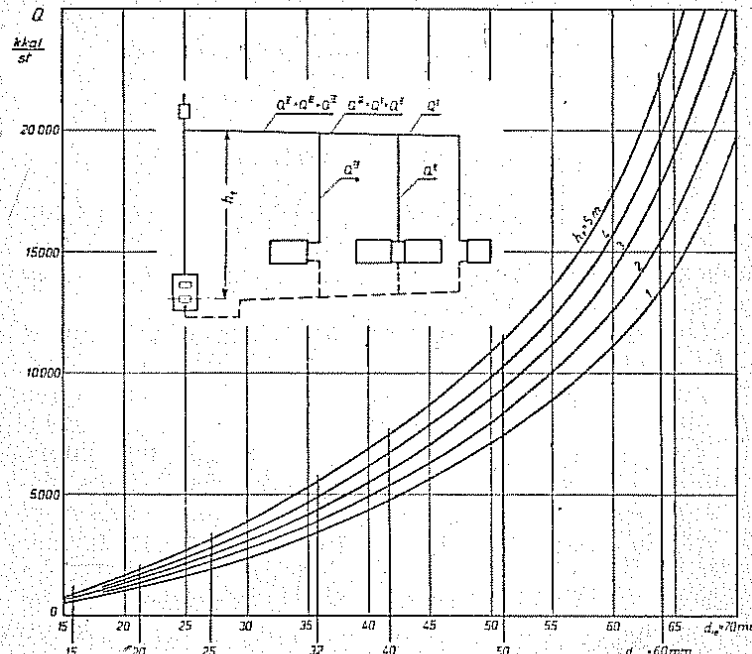
Lai no n posmiem sastāvoša apkures sistēma pareizi darbotos, jāievēro vienādojums

$$H \geq \sum_l^n (R_l l + Z_l) \text{ mm ūd. st vai } kg/m^2. \quad (23)$$

Centrālās apkures sistēmas cauruļvadu aprēķina veidlapa

Posma noslodež	$Q \text{ hkg/st.}$	Posma garums 1 m	Cauruļvada posma diametrs d mm	Densītās ātrums $a \text{ m/seh.}$	Spiedienas līku paravārēšanai R mm dd. st.	Spiedienas kritums 1 m ceļvadā posma	Spiedienas kritums 1 m ceļvadā posma līdz paravārēšanai R mm dd. st.	Cauruļvada posma kritums līdz paravārēšanai R mm dd. st.	Viegliega pretestību koeficients ξ_5	Cauruļvada posma pretestību koeficients ξ_6	Spiedienas kritums, kas rodas, pēriņot Z mm ud. st.	Cauruļvada posma summa $R_1 + Z$ mm dd. st.	Kritums R_1 + Z	Cauruļvada posma spiedienas summa $R_1 + Z$ mm ud. st.	
1	2	3	4	5	6	7	8	9	10	11	11	10	10	11	11

Cauruļvadu hidrauliskos aprēķinus ievērojami atvieglo nomogrammas. Tā, piemēram, ar 6. pielikumā attēloto nomogrammu, zinot caurplūdi — G (pēc 20. vienādojuma), posmā pieļaujamo berzes pretestību uz 1 tek. m — R_{1m} (pēc 21. vienādojuma) var noteikt izdevīgāko caurules diametru d (ko ierakstām aprēķina veidlapas 5. ailē) un



34. zīm. Diagramma cauruļvadu diametra tuvinātai noteikšanai.

plūsmas ātrumu v (ieraksta 6. ailē). Arī pēc zināmām vietējo pretestību koeficientu ξ vērtībām (sk. 5. pielikumu) viegli var noteikt attiecīgo spiediena kritumu (sk. aprēķina viemēru 6. pielikuma nomogrammā).

Ja šādā veidā izdarītais aprēķins dotajam schemas konturam uzrāda lielāku sumaro spiedienu kritumu par sākumā aprēķināto aktivo cirkulacijas spiedienu, tad

kādā posmā diametrs jāpalieina un aprēķins jāatkārto.

Ja lasītājam agrāk nav bijusi saskare ar šāda veida hidrauliskiem aprēķiniem un to risināšana sagādā grūtības, tad zināmus pieturas punktus cauruļvadu dimensioņēšanā var dabūt tuvināti pēc 34. zīmējumā ievietotās nomogrammas, kur uz vertikālās ass atlikas posma siltuma slodzes Q , bet uz liektām līnijām atzīmēts sistēmas turpvada augstums virs katla karstākās joslas.

Nolasījums uz horizontalās ass dod meklēto caurules diametru.

10. §. SILTUMA AKUMULATORI

Ar ГОСТ 2127-43 ir noteikts, ka krāsnīm jābūt izbūvētām tā, lai pēc apm. $2\frac{1}{2}$ stundu ilga kurināšanas perioda telpu temperatūra turpmākās 9 stundās pazeminātos ne vairāk kā par $2,5^{\circ}\text{C}$.

Izbūvējot centralo ūdens apkures sistēmu individualās dzīvojamās mājās, dabiski, ka nebūs īpaša kurinātāja siltuma ģeneratora apkalpošanai, kā tas ir daudzstāvu dzīvojamās mājās, bet minēto darbu veiks paši iedzīvotāji. Šajā sakaribā praksē ieviesies nerakstīts noteikums, ka individualās dzīvojamās mājas centralās apkures sistēmas apkalpošana nedrīkst prasīt vairāk laika, nekā tas vajadzīgs, piemēram, vienas podiņu krāsns kurināšanai.

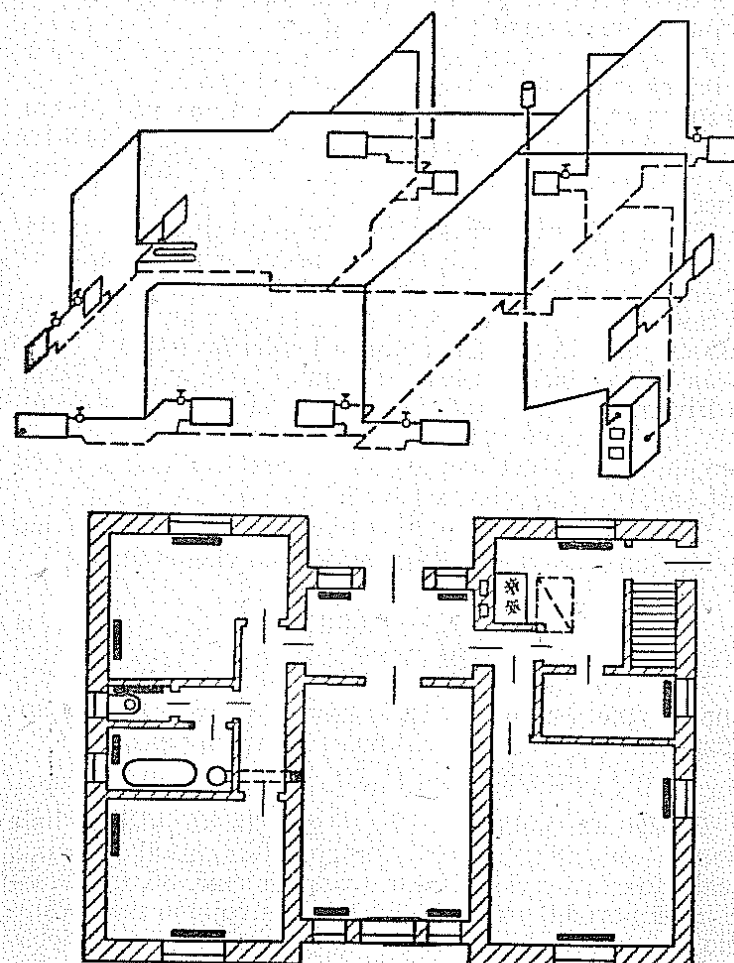
Nemot vērā ūdens apkures sistēmas relativi niecīgo siltuma kapacitati, salīdzinot ar podiņu krāsnīm, kuras bez tam kurinot sakarsē daudz spēcīgāk nekā ūdens apkures sistēmas radiatori, lai tomēr izpildītu iepriekš minētos noteikumus, ir jāveic īpaši pasākumi sistēmas darbības vienmērīguma nostabilizēšanai.

Viens no efektivākiem līdzekļiem šajā zinā ir tāda siltuma ģeneratora izbūve, kuram būtu pietiekami liela kurināmā ietilpība un degšanas process kurtuvē noritētu ilgstoti un bez traucējumiem.

Ļoti labi šīs prasības izpilda «ВНИИСТО-Мч» u. c. līdzīgas konstrukcijas mazas jaudas apkures katli, par kuriem sīkāk bija minēts 4. §.

Attiecīgas centralās apkures sistemas izveidojuma piemērs četrstābu dzīvojamai mājai parādīts 35. zīmējumā.

Kā jau minēts, daudzos gadījumos siltuma ģeneratorus izbūvē kopā ar virtuves pavadu. Tā kā kurināmā krā-



35. zīm. Centralās apkures sistema četrstābu dzīvojamai mājai ar «ВНИИСТО-Мч» tipa siltuma ģeneratoru.

jumi šādā kurtuvē ir mazi, tad degšanas process bez regularas uzraudzības parasti ir sāmērā īslaicīgs.

Tādas nelielas centralās apkures sistemas tāpēc mēdz papildināt ar t. s. siltuma akumulatoriem. Tie ir apkures sistēmā ieslēgti papildu ūdens rezervuari, kuros generatora intensivas kurināšanas laikā uzkrāj attīstītā siltuma pārpalikumu sakarsēta ūdens veidā.

Kurināšanas perioda beigās ūdens temperatūra akumulatorā ir apmēram tāda pati kā radiatoros.

Protams, lai varētu radīt zināmu siltuma uzkrājumu, siltuma generatora jaudai jābūt attiecīgi lielākai, nekā tas nepieciešams ēkas vidējo stundas siltuma zudumu segšanai.

Siltuma generatora kurināšanu pārtraucot, akumulatorā sakarsētais karstais ūdens turpina cirkulēt apkures sistēmā un caur radiatoriem nodod siltumu telpām.

Seit tomēr jānorāda, ka apkures sistemu specialistu uzskati par siltuma akumulatoru lietderību dalās.

Ja viena daļa norāda uz akumulatoru nenoliedzami pozitīvām īpašībām, tad citi atkal izceļ to mazo efektivitāti, jo jāuzstāda 200...300 l lielas ūdens tvertnes, komplikētākas klūst cauruļvadu schemas utt., kas savukārt sadārdzina sistemas izbūvi.

Sacītā ilustrēšanai un tvertnes tilpuma aprēķina paskaidrošanai aplūkosim šādu empirisko vienādojumu:

$$G_{ak} = 0,06 Q [l]. \quad (23)$$

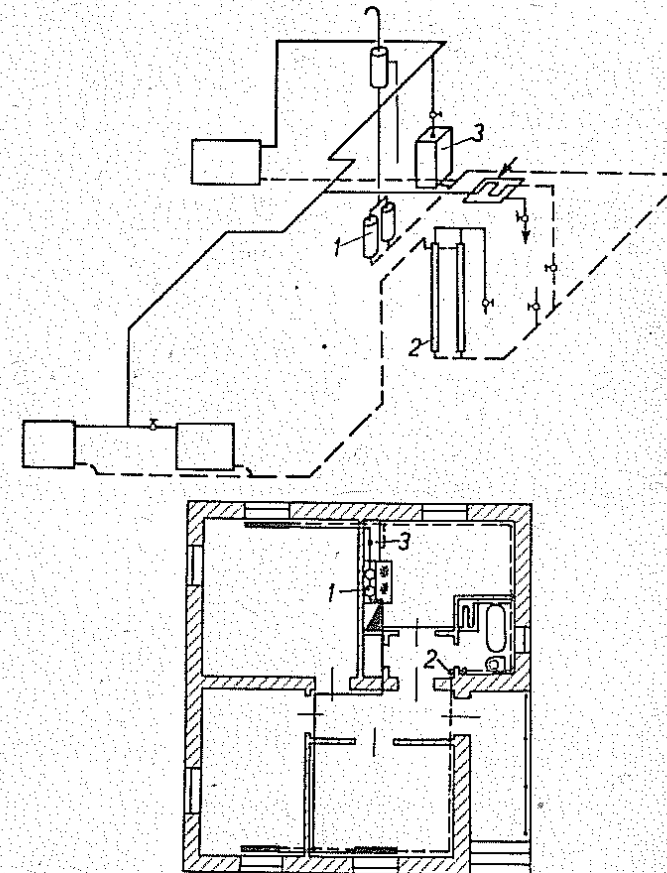
Pēc vienādojuma izriet, ka rezervuara tilpums G_{ak} jāņem apmēram 60 litri uz katrām $Q = 1000 \text{ kkal/st}$ apkures sistēmas siltuma zudumiem vai arī

$$G_{ak} \approx 20 \text{ l uz katru } m^2 \text{ iebūvēto radiatoru sildvirsmas.}$$

Praksē akumulatorus izbūvē gan kā atsevišķas, liela tilpuma centralizētas tvertnes, gan arī kā mazāka tilpuma elementus, kas izvietoti cauruļvadu sistēmā. 36. un 37. zīmējumā parādīti trīs- un divistabu dzīvojamā māju centralo apkures sistēmu izveidošanas varianti, kuros iebūvēti abu iepriekšminēto tipu akumulatori.

Maza tilpuma (cauruļu tipa) akumulatorus parasti iebūvē sistēmas atpakaļvadā, kādā no lejup ejošiem (ver-

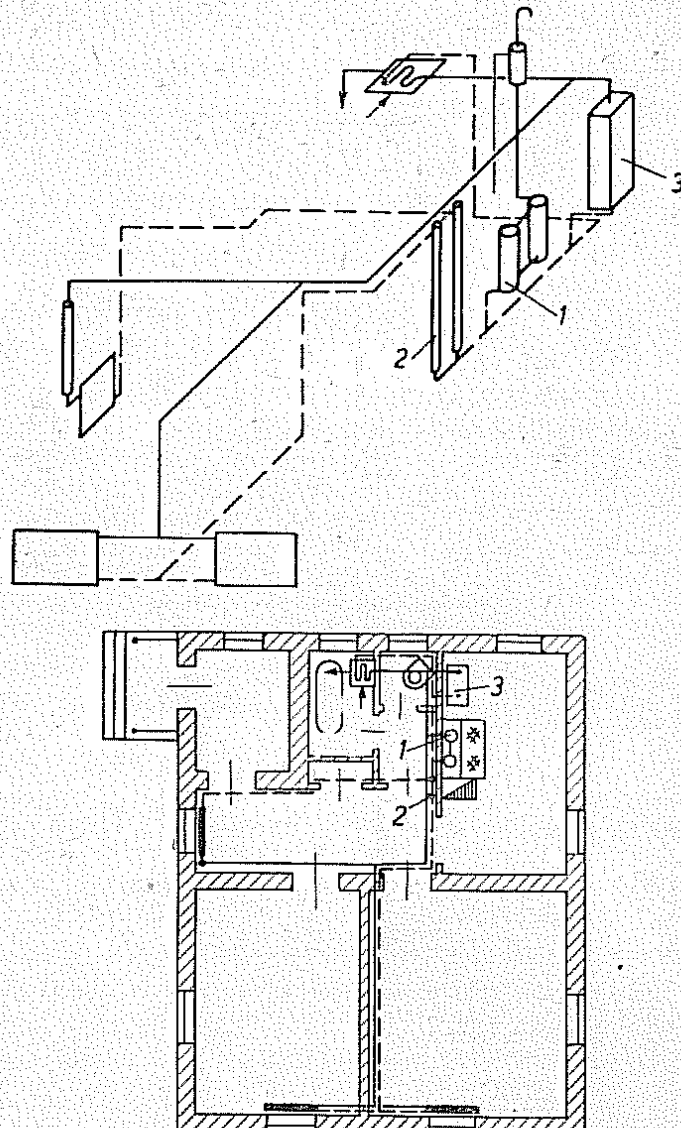
tikaliem) posmiem, piemēram, apejot durvju ailes utt. Šāds akumulatora izvietojums sistēmā netikai palielina



36. zīm. Centralās apkures iekārtošana vienstāva dzīvojamā mājā ar 3 istabām un virtuvi:
1 — siltuma generatoris; 2 un 3 — siltuma akumulatori.

radiatoru sildvirsmu, bet, ūdenim atdziestot, rodas vēl papildu pozitīvs cirkulacijas spiediens.

Centralos — liela tilpuma akumulatorus turpretim no ārpuses izolē, lai tie pārmērīgi nesakarsētu telpu, kurā uzstādīti.



37. zīm. Centralās apkures iekārtošana vienstāva dzīvojamā mājā ar divām istabām un virtuvi:
1 — siltuma ģeneratori; 2 un 3 — siltuma akumulatori.

11. §. APKURES SISTEMAS SILDJĀUDAS REGULEŠANA

Ja apkures periodā ārējā gaisa temperatūra nepazemīs līdz $t_{\text{ār}}^{\text{apr}}$, tad centralās apkures sistēmai normali jāapsildīs telpas jau pie zemākām ūdens temperatūrām cirkulacijas konturos.

Praksē ir noskaidrots, ka telpas tiek normali apsildītas, ja starp ūdens un ārējā gaisa temperatūrām pastāv ar šādiem vienādojumiem noteiktas sakarības:

$$t_1' = t_{\text{ie}}' + 0,5(t_1^{\text{apr}} - t_2^{\text{apr}}) \frac{t_{\text{ie}}' - t_{\text{ār}}'}{t_{\text{ie}} - t_{\text{ār}}^{\text{apr}}} + \\ + \left(\frac{t_1^{\text{apr}} + t_2^{\text{apr}}}{2} - t_{\text{ie}}' \right) \left(\frac{t_{\text{ie}}' - t_{\text{ār}}'}{t_{\text{ie}} - t_{\text{ār}}^{\text{apr}}} \right) 0,8 \text{ } ^\circ\text{C}; \quad (24)$$

$$t_2' = t_1' - (t_1^{\text{apr}} - t_2^{\text{apr}}) \frac{t_{\text{ie}}' - t_{\text{ār}}'}{t_{\text{ie}} - t_{\text{ār}}^{\text{apr}}} \text{ } ^\circ\text{C}. \quad (25)$$

Vienādojumos t_1' un t_2' ir meklējamās siltumnesēja temperatūras turpgaitas un atpakaļgaitas vados, mērijot pie siltuma ģeneratora, ja ārējā gaisa temperatūra ir $t_{\text{ār}}'$ un telpas temperatūra t_{ie}' .

Temperatura t_{ie}' var arī nebūt vienāda ar telpas normalo temperaturu — t_{ie} , kurai ir projektēta apkures sistēma, piemēram, ja mājas ir slimnieki un nepieciešams istabas uzturēt siltākas, tad t_{ie}' ir lielāka par t_{ie} , protams, attiecīgi maināms arī kurināšanas režīms. Tā paskaidrošanai aplūkosim sekojošo piemēru.

8. piemērs. Aprēķināt siltumnesēja temperatūras t_1' un t_2' pie ārējā gaisa temperatūras $t_{\text{ār}}' = -5^\circ\text{C}$, ja apkures sistēmas aprēķina parametri ir šādi:

$$t_1^{\text{apr}} = 90^\circ\text{C}, t_2^{\text{apr}} = 70^\circ\text{C}, t_{\text{ār}}^{\text{apr}} = -19^\circ\text{C}, t_{\text{ie}} = +18^\circ\text{C}.$$

Telpās patlaban jāuztur

$$t_{\text{ie}}' = +20^\circ\text{C}.$$

Pēc 23. un 24. vienādojuma dabūjām atbildi

$$t_1' = 20 + 0,5(90 - 70) \frac{20 - (-5)}{18 - (-19)} + \left(\frac{90 + 70}{2} - 18 \right) \times \\ \times \left[\frac{20 - (-5)}{18 - (-19)} \right] 0,8 = 20 + 10 \cdot \frac{25}{37} + 62 \left(\frac{25}{37} \right) 0,8 = 72,0^{\circ}\text{C};$$

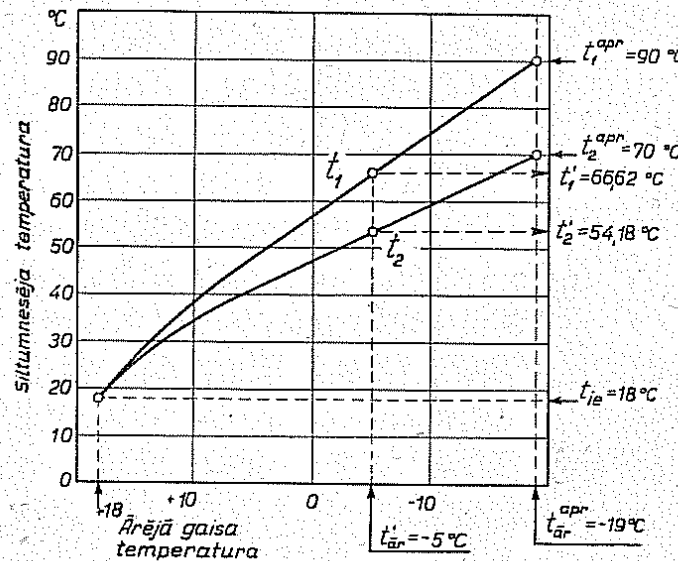
$$t_2' = 72 - (90 - 70) \frac{20 - (-5)}{18 - (-19)} = 72 - 20 \cdot \frac{25}{37} = 58,5^{\circ}\text{C}.$$

Aprēķināsim arī, kādām vajadzētu būt siltumnesēja temperatūrām, lai telpās uzturētu normalo temperaturu $t_{ie} = +18^{\circ}\text{C}$.

Aprēķinot pēc tiem pašiem vienādojumiem, bet t_{ie} vietā, ievietojot t_{ie} , dabūjam

$$t_1' = 66,62^{\circ}\text{C} \quad (\text{iepriekšējā aprēķinā bija } 72,0^{\circ}\text{C}) \quad \text{un} \quad t_2' = 54,18^{\circ}\text{C}.$$

Šādā veidā aprēķinot siltumnesēja temperatūru dažādām ārējā gaisa temperatūrām, var sastādīt apkures sistemas regulēšanas grafiku (38. zīm.), kas joli noderīgs sistemas pareizai ekspluatācijai.



38. zīm. Siltumnesēja temperatūras t_1 un t_2 pie mainīgas ārējā gaisa temperatūras t_{ar} .

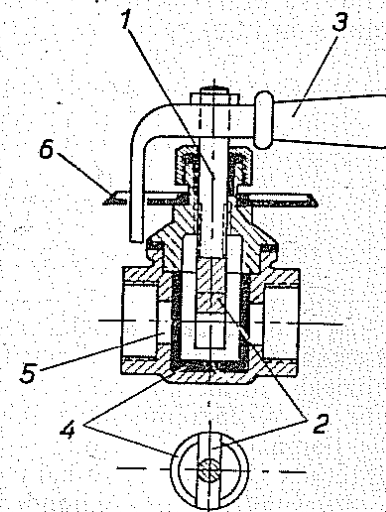
Nelielu ģimenes māju centralās apkures iekārtām apļukotais sistēmas sildjaudas regulēšanas veids bieži ir vienīgais.

Tieši tas, ka centralās apkures iekārtas sakārā ar meteoroloģisko apstākļu pārmaiņām labi pakļaujamas centralizētai regulēšanai, ir viena no galvenām to priekšrocībām, salīdzinot ar krāsns apkuri. Ja apkuriņāmā dzīvojamā mājā ir lielāks skaits istabu, kurās apkures perioda laikā normalo temperatūru paredzēts dažādi mainīt, tad centralā sildjaudas regulēšana jāpapildina ar vietējo regulēšanu, ierīkojot attiecīgo radiatoru karstā ūdens pievados t. s. dubultās regulēšanas krānus.

Sie krāni atšķiras no parastajiem ventiliem ar to, ka tajos apvienots t. s. puspagrieziena vai konusa krānu darbības princips ar ventīlu pakāpenisko noslēgšanas principu.

Griezot vārpstiņu 1, aizbīdnis 2 pārvietojas augstāk vai zemāk. Tādā veidā, mainot caurplūdes kanala augstumu, radiatoram ieregulē normalo siltumnesēja caurplūdi. Pēc tam vārpstiņas galam piemonte rokturi 3, kuru pagriežot galējā kreisā stāvokli, līdz piegriezamā čaula 4 pilnīgi noslēdz caurplūdes kanalu. Griezot rokturi 3 uz pretejo pusī (par 90°), krāna korpusa 5 atvērumiem prelim pagriezas čaulas 4 atvērumi un ūdens var brīvi plūst cauri.

Pirmā roktura stāvokli uz nekustīgi nostiprinātās ripas 6 apzīmē ar uzrakstu «auksts», bet otru ar «karsts».



39. zīm. Dubultās regulēšanas krāns:

1 — vārpstiņa; 2 — aizbīdnis; 3 — rokturis; 4 — piegriezamā čaula ar sānu izgrēzumiem; 5 — krāna korpus; 6 — roktura pagriezena ūrobežotājs.

Pabeidzot sildjaudas dažādo regulēšanas paņēmienu apskatu, jāmin vēl viena centralām ūdens apkures sistemām raksturīga īpašība — sistemas pašregulešanās.

Tās paskaidrošanai alcerēsimies, ka radiatora atdoto siltuma daudzumu Q noteic caurplūstošā ūdens daudzums $G \text{ kg/st}$ un ūdens atdzīšanas pakāpe jeb temperatūras kritums radiatorā Δt :

$$Q = G \cdot c_p \cdot \Delta t = Gc_p (t_1 - t_2) \text{ kkal/st} \quad (26)$$

c_p — ūdens īpatnējo siltuma ietilpību praktiskiem aprēķiniem var pieņemt $\approx 1.0 \text{ kkal/kg } ^\circ\text{C}$, tātad

$$Q = G \cdot \Delta t. \quad (26a)$$

Ja radiatoram pievada samazinātu ūdens daudzumu G_s , kas ir mazāks par normalu — G , tad caurplūstot tas atdzies vairāk un Δt_s kļūst lielāka par Δt ; rezultātā — vienādojumia 26a labās pusēs pirmais loceklis gan samazināsies, bet otrs — Δt — palielināsies; tāpēc sildjauda Q samazinās tikai nedaudz.

Pilnīgāk izprast sildjaudas maiņu atkarībā no caurteces var pēc 40. zīmējumā parādītā grafika.

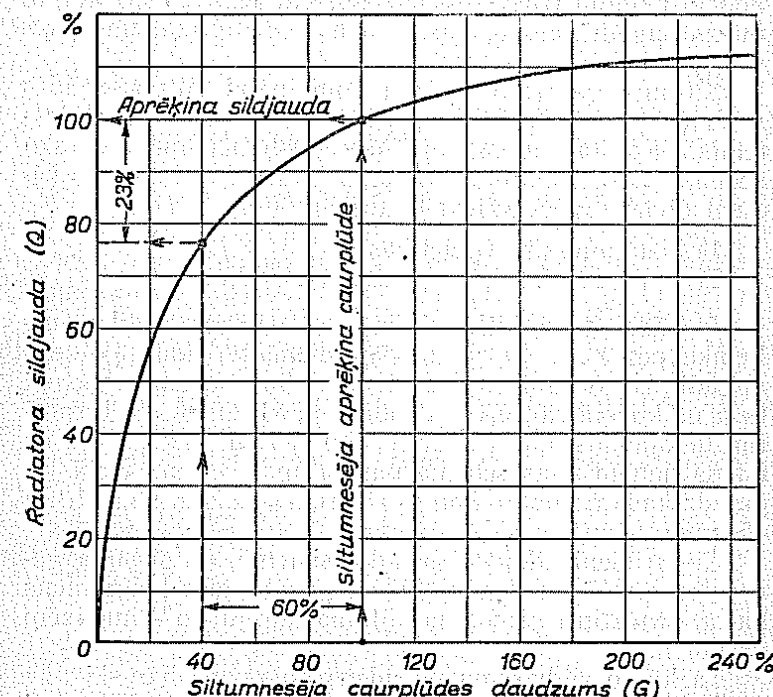
No grafika izriet, ka, samazinot caurteci, piemēram, par 60%, radiatora sildjauda samazināsies tikai par $\approx 23\%$, vai arī, caurteci palielinot 2½ kārtīgi, 1 m^2 sildjauda palielināsies tikai par 12%.

No sacītā jāsecinā, ka caurteces maiņa loti plašā diapazonā radiatora sildjaudu ieteiknē relativi maz.

Pateicoties šādai pašregulešanās īpašībai, dažkārt pat klūdaini aprēķinātas un neprecizi izbūvētas apkures sistēmas, iestājoties aukstam laikam, visumā tomēr ir darba spējīgas, jo aukstā laikā temperatūras kritums Δt radiatoros ir vislielākais.

Tomēr centralo apkures sistēmu ekspluatacijas prakse rāda, ka šādas nepareizi izprojektētās apkures sistēmas parasti sāk darboties neapmierinoši, tīklīdz arējā gaisa temperatūra paaugstinās. Tad dažas telpas sāk pārkarst, bet citas tiek nepietiekoši apsildītas.

Lai uzturētu kaut cik normalu temperaturu visai ēkai, apkures sistēma ir jākurina stiprāk, pārkurinātās telpās jāpārstāda regulēšanas krāni pie radiatoriem, biežāk jāatver vēdināšanas kanali un vēlodzīpi, līdz ar to rodas



40. zīm. Radiatora sildjaudas Q izmaiņa atkarībā no siltumnesēja caurplūdes daudzuma G .

neērtības ekspluatacijā un reizē nelietderīgi tiek izlietots kurināmās.

Nemot vērā to, ka centralā apkure ir kapitāls ieguldījums ēkas celtniecībā un, pareizi darbinot, tā kalpo desmitiem gadu, būs lieki norādit, kāda nozīme ir pareizi aprēķinātas sistēmas izbūvei individualajās dzīvojamās mājas, kā arī alsevišķos dzīvokļos.

12. §. KOMBINĒTAS CENTRALĀS APKURES UN KARSTĀ ŪDENS APGĀDES SISTEMAS

Parasti individualās dzīvojamās mājās, kur telpu apsildīšanai izbūvē centralo ūdens apkures sistēmu, ar ne lieliem papildu izdevumiem viegli var iekārtot arī karstā ūdens apgādi vannai, dušai, vēlas mazgāšanai un virtuves vajadzībām.

Siltuma ģenerators šādai kombinētai siltumapgādes sistēmai parasti paliek iepriekšējais — apkurei projektais. Karstā ūdens apgādes sistēmai piemērotāko schemu katrā konkrētā gadījumā izvēlas, vadoties no šādiem diviem galvenajiem faktoriem:

- 1) lietojamā ūdens cietības un
- 2) apkures sistēmas ģeneratoru sildjāudas.

Ja sistēmas pildīšanai lietojamā ūdens cietība nav lielāka par 8...10 cietības gradiem, tad karstā ūdens apgādi var organizēt pēc vienkāršotas schemas, nēmot tiesi no kopējā caurulvadu tīkla (sk. 41. zīm.). Ja turpretim lietojamais ūdens ir ar lielāku cietību, tad t. s. tiešā ūdens noņemšanas schema nav derīga, bet tās vietā jāparedz kāds no dalito konturu variantiem (sk. 43., 44. un 45. zīm.).

Cietu ūdeni atkārtoti ievadot sistēmā, uz siltuma ģeneratora iekšējām sienām (ūdens pusē) rodas katlakmens kārta, kas stipri samazina siltuma pāreju no dūmgāzemē uz ūdeni.

Tā kā šo sildvirsmu no ūdens puses mechaniski nav iespējams nolīkt, bet ķīmiskie līdzekļi ne vienmēr dod vēlamo rezultatu, parasti līdz ar to visa siltumapgādes iekārta kļūst neefektiva, vāji silda, vairāk patēriekuri nāmo.

Otrs faktors schemas izvēlē, kā jau minējām, ir apkures sistēmas siltuma ģeneratoru jauda.

Ja tā ir mazāka par maksimalo stundas siltumpatēriju karstā ūdens apgādei¹, tad schemas jāparedz karstā ūdens akumulators, kurā uzkrāto silto ūdeni izmanto vannai. Ja turpretim apkures sistēmas siltuma ģeneratora

¹ Siltumpatērija aprēķinu sk. 9. piemērā.

jauda ir lielāka par karstā ūdens siltumpatēriju, tad išaši akumulatori nav vajadzīgi.

Seit gan jāpiezīmē, ka individualo dzīvojamo māju labiekārtošanas praksē visbiežāk sastopam pirmo gadījumu, kad ģeneratora jauda nav pietiekoši liela. Tāpēc lietderīgi būs aplūkot sīkāk akumulatoru schemu izveidošanas pamatprincipus.

a) Kombinēta siltumapgādes sistēma ar tiešo karstā ūdens noņemšanu

Karstā ūdens akumulatora funkcijas kombinētās siltumapgādes schemas parasti piešķir apkures sistēmas izplešanās traukam, pie tam vajadzības gadījumā trauka tilpumu attiecīgi palielinā.

Sāda pārveidoša izplešanās trauka tilpuma aprēķināšanu paskaidrosim ar piemēru.

9. piemērs. Vantas sagatavošanai nepieciešams $V = 250$ litri ūdens ar temperaturu $t_{kū} = +40^\circ\text{C}$.

Aprēķināt izplešanās trauka — akumulatora tilpumu, ja aukstā ūdens temperatūra $t_0 = +10^\circ\text{C}$ un apkures sistēmas siltuma ģeneratora jauda ir 7000 kkcal/st .

1. Vienas vandas sagatavošanai teoriski nepieciešamais siltuma daudzums

$$Q_{kū} = V(t_{kū} - t_0) \text{ kkcal/st.} \quad (27)$$

$$Q_{kū} = 250 (40 - 10) = 7500 \text{ kkcal/st.}$$

2. Akumulatora darba tilpums (no signalcaurules līdz pārpilnības caurulei), pieņemot, ka ūdens temperatūra tur ir $t_{ak} = 80^\circ\text{C}$:

$$V_{ak} = \frac{Q_{kū}}{(t_{ak} - t_0)} [L] \quad (28)$$

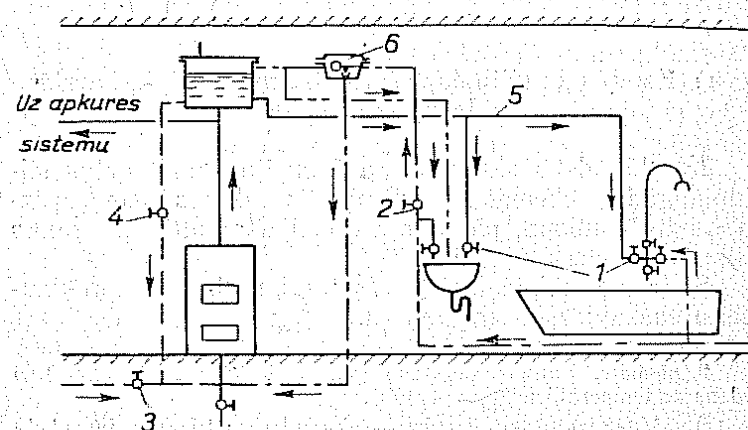
$$V_{ak} = \frac{7500}{80 - 10} = 107 \approx 100 L$$

3. Laiks, kas vajadzīgs ūdens sakarsēšanai nākošai vannai, ja apkures sistēma atvienota:

$$z = \frac{Q_{kū}}{Q_{gen}} = \frac{7500}{7000} = 1,07 \text{ st.}$$

Kombinētas siltumapgādes sistēma ar tiešo karstā ūdens noņemšanu parādīta 41. zīmējumā.

Tās ekspluatācija noris šādi. Apkures sistēmas normālās darbības režīmā karstā ūdens apgādes konturs ar ventiliem 1 un 2 ir atvienots. Ūdens cirkulē vienīgi caur radiatoriem.



41. zīm. Kombinēta siltumapgādes sistēma ar tiešo karstā ūdens noņemšanu:

1 — karstā ūdens krāni; 2 — ventils aukstā ūdens papildināšanai sistēmā; 3 — apkures sistēmas atvienošanas ventils; 4 — ventils cirkulacijas vadā (atverams, ja galavo vannu); 5 — karstā ūdens noņemšanas caurule; 6 — pludiņvārte.

Lietojot vannu vai dušu, it īpaši, ja paredzēts lielāks karstā ūdens patēriņš (piemēram, jāsagatavo 2 vai 3 vannas pēc kārtas), apkures sistēmu vēlams atvienot no siltuma ģeneratora kontura (aizgriež ventili 3).

Šāda apkures sistēmas periodiska izslegšana ir pilnīgi pieļaujama, jo telpu sienu, mēbeļu un pārejās iekārtas siltuma akumulācija novērš strauju temperatūras pāzemēšanas iespēju. Bez tam, jau gatavojoties karstā ūdens patēriņam, apkures sistēmu var savlaicīgi forsēt un pacelt telpu temperaturu nedaudz augstāk par normālo.

Ūdeni uz vannu un dušu (41. zīm.) novada no akumulatora apakšējās joslas pa cauruli 5. Zīmējumā parādīta schemā aukstā ūdens pievadišana līdz vēlamam līmenim

ir automatizēta. Tiklīdz līmenis akumulatorā nokrītas, pludiņvārsts¹ traukā 6 atver aukstā ūdens pievadkanalu un sistēmu no jauna uzpilda.

Protams, pludiņvārsts var arī nebūt, bet tad jārauga, lai ūdens akumulatorā vienmēr būtu vajadzīgā līmenī un trauks neiztukšotos pilnīgi. Iztukšotā sistēmā apstājas cirkulācija un ūdens sāk vārtīties.

Lai nodrošinātu normalu ūdens cirkulāciju, starp siltuma ģeneratoru un akumulatoru iebūvē īpašu cauruli ar ventili 4. Gatavojoj vannu, ventili 4 atgriež un atstāj atvērtu visā mazgāšanās laikā. Ar to tiek nodrošināta ūdens cirkulācija katlā arī tad, ja apkures sistēma atvienota un karsto ūdeni nelieto.

Siltuma zudumu samazināšanai akumulatoru — izplešanās trauku no ārpuses izolē ar azbestu vai citu tam-līdzīgu materiālu.

b) Kombinēta siltumapgādes sistēma ar daļīiem ūdens plūsmu konturiem

Kombinētas siltumapgādes sistēmas cauruļvadu principiālā schema parādīta 43., 44. un 45. zīmējumā.

Siltuma ģeneratora un apkures sistēma šeit izveido noslēgtu konturu, kurā cirkulē viens un tas pats sākumā iepildītais ūdens.

Ūdens sasildīšanai vannai un dušai ir iekārtoti boilers. To sasilda ar apkures sistēmas ūdeni, kas plūst cauri īpašai liekto cauruļu baterijai (42. zīm.).

Ūdens kustība liekto cauruļu baterijā notiek ar dabisko cirkulāciju.

Tā kā caurules ar laiku no ārpuses pārkļājas ar nosēdumu kārtu, tad boilers jāizbūvē attaisāms (ar vāku).

Boilera tilpumu aprēķina tāpat kā karstā ūdens apgādes akumulatoru (sk. 28. vienādojumu), bet cauruļu sildvirsmu pēc šāda vienādojuma:

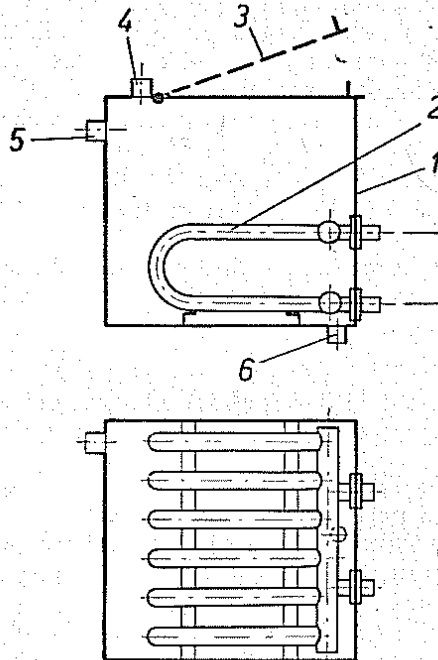
$$F = \frac{Q_{k, \text{u}}}{k \cdot \Delta t} [m^2]. \quad (29)$$

¹ Līdzīgus pludiņvārstus uzstāda tualetes telpās ūdens skalošanas aparatos.

Tuvinātiem aprēķiniem var pieņemt

Δt — vidējo temperatūru diferenci $\approx 10^\circ\text{C}$;

h — siltuma transmisijas koeficientu $\approx 250 \dots 350 \text{ kkal/m}^2 \text{ st. } ^\circ\text{C}$.



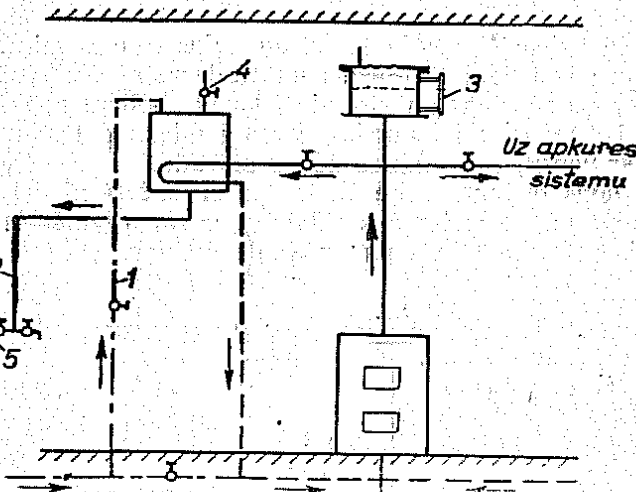
42. zīm. Karstā ūdens boilers ar liektos cauruļu bateriju:

1 — boilera korpus; 2 — karstā ūdens cauruļi; 3 — vāks; 4 — aukstā ūdens iepildīšanas caurule; 5 — pārplūdes caurule; 6 — sakarsētā ūdens novadišanas caurule.

43. zīmējumā parādītais schemai, salīdzinot ar 41. zīmējumu, ir būtiska priekšrocība, jo pēc tās boileri var iepildīt arī mazāku ūdens daudzumu un tādā veidā ātrāk to sasildīt.

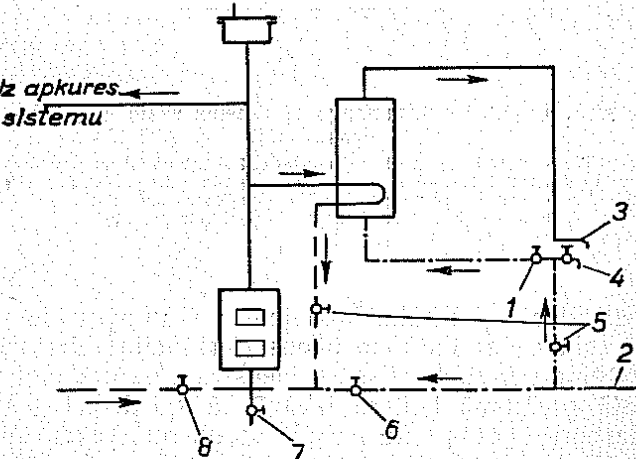
Viens no lielākajiem šīs schemas trūkumiem ir nevienmērīga ūdens temperatūra izlietošanas vietā. To izraisīja aukstā ūdens pievadīšana boileri no augšas, bet siltā ūdens novadišana — no apakšdaļas.¹

¹ Sacīlais attiecas arī uz schemu, kas parādīta 41. zīmējumā.



43. zīm. Kombinēta siltumapgādes sistema ar dalītiem ūdens plūsmas konturiem:

1 — aukstā ūdens pievadceļa; 2 — sakarsētā ūdens novadceļa; 3 — izplešanās traufa līmenigrādis; 4 — gaisa izvadīšanas kanals, to atver arī tad ja ir jāiztukšo boilers; 5 — karstā ūdens krāns.



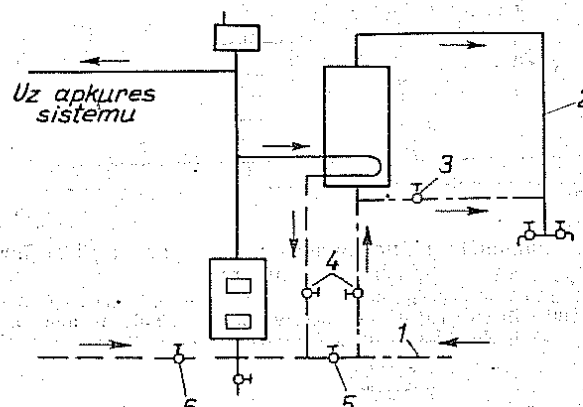
44. zīm. Mazela-Kotlera schema kombinētai siltumapgādes sistēmai:

1 — ventils (aukstā ūdens vadā) karstā ūdens patēriņa regulēšanai; 2 — aukstā ūdens pievads; 3 — karstā ūdens izteces vieta; 4 — aukstā ūdens krāns; 5 — ventils karstā ūdens apgādes sistēmas izslēgšanai; 6 — ventils ūdens papildināšanai apkures sistēmā; 7 — ūdens izlašanas (drenažas) ventils; 8 — apkures sistēmas radiatoru kontura izslēgšanas ventils.

Šajā sakaribā originalu schemu, kurai nav minētais trūkums, izstrādājuši Māzels un Kotlers.

Pēc šīs schemas auksto ūdeni ievada boileru apakšējā daļā, bet novada no augšas. Karstā ūdens patēriņu regulē ar ventili 1 — aukstā ūdens pievadā.

Zināmis trūkums schemai ir tās ierobežotā pielietošanas iespēja, jo sistēmā vienlaicīgi nevar regulēt izteci vairākos karstā ūdens patēriņšanas punktos.



45. zīm. Kombinēta siltumapgādes schema ēkām ar pilsētas ūdensvadu:

1 — aukstā ūdens pievads no pilsētas ūdensvada; 2 — karstā ūdens novadcaurule; 3 — ventils boileru tukšošanai; 4 — ventili karstā ūdens apgādes sistēmas izslēgšanai; 5 — ventils ūdens papildināšanai apkures sistēmā; 6 — apkures sistēmas radiatoru kontura izslēgšanas ventils.

Visbeidzot aplūkosim kombinētas siltumapgādes sistēmas schemu ar dalītiem ūdens cirkulacijas konturiem, kas lietojamā ēkās ar pilsētas ūdensvada pieslēgumu.

Šajā gadījumā boileru izbūvē kā spiedtvertni, kura var darboties, izturot ūdensvadā spiedienu. Auksto ūdeni ievada boileru apakšējā daļā, bet karsto novada pa cauruli 2 — no augšas.

Ar to ir nodrošināta vienmērīga karstā ūdens temperatūra patēriņa vietā jebkurā iekārtas darbināšanas režīmā.

Aplūkotai schemai piemīt vēl cita pozitiva īpašiba — nav jārūpējas par pareiza līmeņa ieturēšanu boilerī, jo tas vienmēr ir piepildīts.

* * *

• Pabeidzot nelielo pārskatu par individualo dzīvojamo māju siltumapgādes jautājumiem, atzīmēsim īsumā pašu galveno, kas jāievēro, izbūvējot jaunas šāda veida iekārtas:

1. Siltuma ģenerators mājā jānovieto pēc iespējas zemāk (tam nedrīkst mūrēt augstus pamatus), bet radiatori — augstāk.

2. Mazās un zemās telpās radiatori var uzstādīt pie iekšienām; lielās telpās — vienmēr labāk tos novietot zem logiem un pie ārsienām.

3. Sistemas karstā ūdens turpvadu vēlamis likt pēc iespējas augstāk virs katla, bet atpakaļvadu — pie grīdas vai zemāk.

4. Sistemas atgaisošana jānodrošina ar pareizā virzienā slīpi iemontētiem horizontaliem cauruļvadiem.

5. Cauruļvadu sistēmas zemākajos punktos jāparedz ūdens izlaišanas krāni.

6. Boilers karstā ūdens apgādes sistēmā visos gadījumos nodrošinā ilgāku mūžu siltuma ģeneratoram un tirāku ūdeni patēriņšajam.

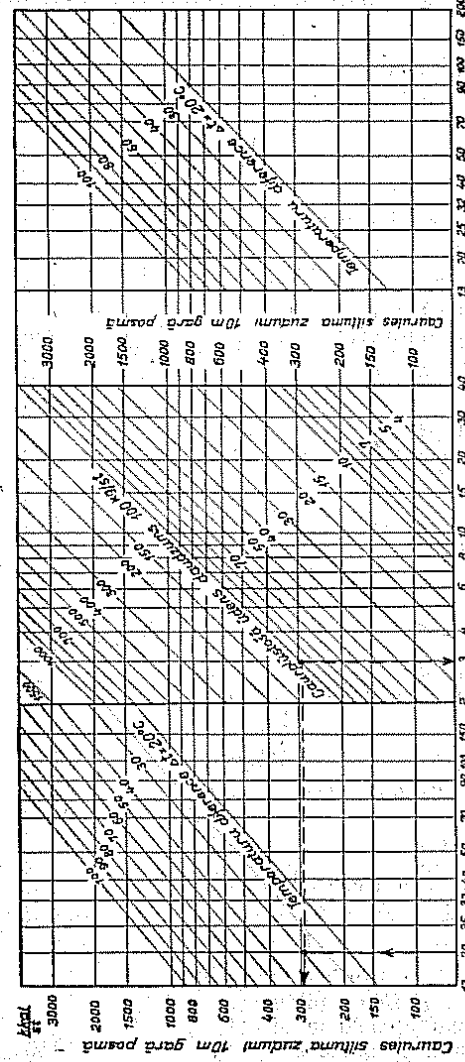
1. pielikums
Dažādu būvmaterialu tilpumsvars un siltuma vadīšanas koeficients λ

Nr. p. k.	Materiāla nosaukums	γ kg/m ³	λ kcal/m ² °C
1.	Asfalta grīdas stānis	1800	0,62
2.	Akmens šķembu betons	2000	1,10
3.	Kieģeļu šķembu betons	1900	1,00
4.	Izdedžu betons	1000	0,35
5.	Putu betons	300	0,10
6.	Koks (λ šķērsām šķiedrai)		
	a) egle, priede	400...600	0,11...0,16
	b) ozols	700...900	0,18...0,28
7.	Blietēti māli ar salmu piejauku		
	kumu	1200	0,40
8.	Kieģeļu masīvs mūris	1600...1800	0,60...0,75
9.	Apmetums		
	a) ārējais	1600...1800	0,80...1,00
	b) iekšējais	1600...1800	0,60...0,80
10.	Gipsa plātnes	800	0,27
11.	Dzelzsbetons	1800	0,8...1,0
12.	Granits	2600...2900	2,5...3,5
13.	Smilšakmens	1600	0,70
14.	Zāgu skaidas (gaisa sausas)	190...215	0,05...0,06
15.	Izdedžu pildijums	700...750	0,28
16.	Smiltis		
	a) tīras, sausas	1500	0,90
	b) mitras (8%)	2000	1,50
	c) mālainas, sausas	1500	1,30
	d) mālainas, mitras	2000	2,20
17.	Logu stikls	2500	0,65
18.	Saplāksnis	600	0,15
19.	Jumta pape	1000...1200	0,12...0,30
20.	Šifers	2700	1,3...1,7
21.	Azbests	900	0,22
22.	Tūba	300	0,04
23.	Stikla vate	200	0,048
24.	Kūdras plates (presētas)	200	0,060
25.	Frezkūdra	350	0,061

2. pielikums
Siltuma transmisijas koeficients k_{slen} dažādām sienu konstrukcijām

Nr. p. k.	Sienas konstrukcija	Sienas biezums bez apmetuma		Koeficients k_{slen} kcal/m ² °C
		kiegeli	mm	
1.	Kieģeļu siena			
		1/3	120	2,60
		1	250	1,80
		1 1/3	380	1,38
		2	510	1,11
		2 1/3	640	0,87
		1/3	120	2,50
		1	250	1,70
		1 1/3	380	1,34
		2	510	1,09
2.	Kieģeļu siena ar 7 cm biezū gaisa starpkārtu			
		1	250	1,30
		1 1/3	380	1,10
		2	510	0,90
3.	Kieģeļu siena ar 2 cm biezū koka segumu no iekšpusēs			
		1/2	120	1,70
		1	250	1,30
		1 1/3	380	1,00
4.	Kieģeļu siena ar 2 cm kūdras plašu izolaciju			
		1/2	120	1,10
		1	250	0,90
		1 1/3	380	0,80
5.	Dzelzsbetons			
		2	510	0,70
		a) bez apmetuma		
			250	3,80
			380	3,30
			510	2,90
			640	2,40
6.	b) abpusīgi apmetsts			
			250	3,20
			380	2,80
			510	2,50
7.	Masiva koka siena ar vienpusīgu apmetumu			
			640	2,10
			180	0,70
			150	0,82
25.	25 mm biezū dēļu karkass ar zāgu skaidu pildijumu vidū un apmetumu sienas iekšpusēi (pagaidu būvēm)			
			100	1,12
			180	0,70
15.	150			
			100	0,82
24.	100			
			180	1,12

3. pieikums



Odens atdzīšanas parametri neizlējās horizontālās un vertikālās sauktībēs.

4. Die Likumis

Temperature °C	Svarn kg								
10.0	999.73	60.0	983.24	70.0	977.81	80.0	971.83	90.0	965.34
50.0	988.07	60.5	982.98	70.5	977.52	80.5	971.52	90.5	965.01
50.5	987.84	61.0	982.72	71.0	977.23	81.0	971.21	91.0	964.67
51.0	987.61	61.5	982.48	71.5	976.94	81.5	970.89	91.5	964.33
51.5	987.38	62.0	982.20	72.0	976.65	82.0	970.57	92.0	963.99
52.0	987.15	62.5	981.94	72.5	976.36	82.5	970.25	92.5	963.65
52.5	986.92	63.0	981.67	73.0	976.07	83.0	969.94	93.0	963.30
53.0	986.69	63.5	981.40	73.5	975.77	83.5	969.62	93.5	962.96
53.5	986.45	64.0	981.13	74.0	975.48	84.0	969.30	94.0	962.61
54.0	986.21	64.5	980.86	74.5	975.18	84.5	968.98	94.5	962.27
54.5	985.97	65.0	980.59	75.0	974.89	85.0	968.65	95.0	961.92
55.0	985.73	65.5	980.32	75.5	974.59	85.5	968.33	95.5	961.57
55.5	985.49	66.0	980.05	76.0	974.29	86.0	968.00	96.0	961.21
56.0	985.25	66.5	979.77	76.5	973.98	86.5	967.67	96.5	960.86
56.5	985.00	67.0	979.50	77.0	973.68	87.0	967.34	97.0	960.51
57.0	984.75	67.5	979.22	77.5	973.37	87.5	967.01	97.5	960.16
57.5	984.50	68.0	978.94	78.0	973.07	88.0	966.68	98.0	959.80
58.0	984.25	68.5	978.66	78.5	972.76	88.5	966.35	98.5	959.45
58.5	984.00	69.0	978.38	79.0	972.45	89.0	966.01	99.0	959.10
59.0	983.75	69.5	978.10	79.5	972.14	89.5	965.68	99.5	958.85

6

5. pielikums

vietējās pretestības koeficients

Cauruļu veidgabalu (trijnieku)

a) Nozarotām plūsmām

	$\frac{d_{noz}}{d_{galv}}$	$G_{noz}/$		
		0,1	0,2	0,3
$G_{noz} \downarrow$	1	-65	-10	-2,66
	0,74	-25	-3,62	0
	0,66	-15,2	-1,29	0,55
	0,59	-8	-0,3	0,8
$\rightarrow G_{galv}$	0,52	-5	0	0,9
	0,44	-2	0,5	0,9
	0,3	-0,4	0,6	0,9
$\uparrow d_{galv}$	1	90	25	12,5
	0,74	33	9,4	4,7
	0,66	23	6,88	3,52
$\rightarrow d_{noz}$	0,59	13,5	4,73	2,88
	0,52	10	3,30	1,88
	0,44	5,3	1,9	1,4
	0,3	2,1	0,935	0,542
$\downarrow d_{galv}$	1	80	21,5	11
$\leftarrow d_{noz}$	1	100	29	14,5

b) Caurejošām plūsmām

	$\frac{d_{noz}}{d_{galv}}$	$G_{noz}/$		
		0,1	0,2	0,3
Visiem veidgabaliem (trijniekiem) — pēc OCT 757 un OCT 758				
	70	16	6,7	
$G_1 \rightarrow G_2$				

$/G_{galv}$							
0,4	0,5	0,6	0,7	0,8	0,9	1	
0,625	2	2,3	2,3	2,3	2,3	2,3	
1	1,4	1,6	1,8	1,9	2	2	
1	1,2	1,4	1,55	1,7	1,73	1,73	
1	1,1	1,2	1,3	1,4	1,4	1,5	
1	1,1	1,2	1,25	1,3	1,32	1,34	
1	1,1	1,2	1,2	1,2	1,2	1,2	
1	1,05	1,1	1,1	1,1	1,1	1,1	
7,75	5,4	4,15	3,3	2,8	2,55	2,3	
3	2	1,5	1,2	1,05	1	1	
2,25	1,6	1,25	1,0	0,9	0,9	0,9	
1,8	1,34	1,1	0,95	0,83	0,8	0,8	
1,3	1	0,83	0,72	0,67	0,65	0,65	
0,8	0,6	0,52	0,5	0,5	0,5	0,5	
0,40	0,305	0,25	0,215	0,2	0,2	0,2	
7	5	3,9	3,25	2,80	2,5	2,3	
9	6,3	4,75	3,8	3,1	2,66	2,3	

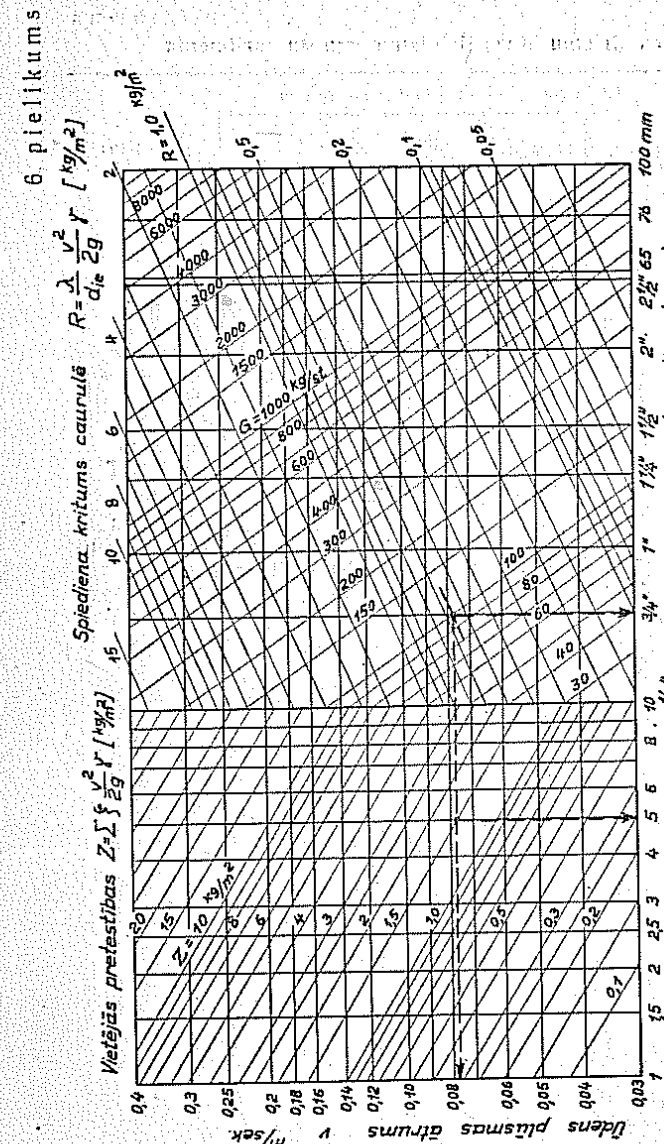
G_1/G_2							
0,4	0,5	0,6	0,7	0,8	0,9	1	
3,56	2,2	1,41	1	0,86	0,76	0,7	

5. pielikuma turpinājums
c) Vietējās pretestības koeficients ξ

Nr. p. k.	Nosaukums	ξ
1.	Radiatoram	2,0
2.	Cuguna apkures katlam	2,5
3.	Caurules diametra palielinājuma vietai	1,0
4.	Caurules diametra sašaurinājuma vietai	0,5
5.	Krustu veidgabaliem	
	a) cauri ejošai plūsmai	2,0
	b) nozarotai	3,0

d) Vietējās pretestības koeficients ξ caurteces regulēšanas armaturai un veidgabaliem

Nr. p. k.	Nosaukums	Koeficients ξ , ja caurplūdes kanala nosacītās diametri mm					
		13	19	25	32	38	50 un vairāk
1.	Ventili	16	10	9	9	8	7
2.	Konusa krāni	4	2	2	2	—	—
3.	Dubultās regulēš. krāni	4	2	2	2	—	—
4.	«Kosva» tipa ventilis	3	3	3	2,5	2,5	2
5.	Veidgabals — 90° līkums	2	2	1,5	1,5	1	1
6.	Caurules izliekums pie radiatora pieslēgšanas vadiem	1,5	1,5	1	1	0,5	0,5



Nomograma caurulvadu hidrauliskiem aprekñiem.

Dots: 1) caurplūde $G = 100 \text{ kg/st.}$

2) berzes pretestība caurulē $R_{im} = 0,58 \text{ mm üd. st. vai } \text{kg/m}^2$,

3) vietējo pretestību koeficients $\Sigma\xi = 5$.

No diagrammas dabūjam: 1) $d = \varnothing 4"$; 2) $v = 0,078 \text{ m/seb.}$; 3) $Z = 1,5 \text{ mm üd. st. vai } \text{kg/m}^2$.

7. pielikums
Apkures sistēmu būvei lietojamo cauruļu sortiments

Apzīmējuma izmērs collēs	mm	Diametrs		Caurules 1 tek. m			Piezīmes
		Ārējais mm	iekšējais mm	Ārējās virsmas laukums m^2	Ūdens telpas tilpums l	Svars kg	
$\frac{1}{2}$	15	21,25	15,75	0,067	0,195	1,25	Parastās tērauda cauruļes
$\frac{3}{4}$	20	26,75	21,25	0,084	0,335	1,63	(gāzes cauruļes)
1	25	33,50	27,00	0,105	0,575	2,42	
$\frac{11}{4}$	32	42,25	35,75	0,133	1,000	3,13	
$\frac{11}{2}$	40	48,00	41,00	0,151	1,320	3,84	iztur spie- dieni
2	50	60,00	53,00	0,188	2,210	4,88	$p \leq 10 \text{ at.}$
$2\frac{1}{2}$	70	75,50	68,00	0,237	3,630	6,64	Izgatavo pēc GOST 3262-46
3	80	88,50	80,50	0,278	5,090	8,34	
<hr/>							
—	100	127,00	119,00	0,399	11,10	12,13	Metinātās tērauda cauruļes ($p \leq 16$ at.). Izgatavo pēc GOST 18865-39
—	125	133,00	125,00	0,440	13,30	16,65	

LITERATURA

1. А. В. Грачев, Теплоснабжение и вентиляция малоэтажных жилых зданий, Гостехиздат, 1954.
 2. И. И. Ковалевский. Теплоснабжение и вентиляция малоэтажных зданий, Государственное издательство архитектуры и градостроительства, 1950.
 3. С. Ф. Копьев, Тёплоснабжение, Государственное издательство литературы по строительству и архитектуре, 1953.
 4. И. Ф. Лифчак, Квартирное водяное отопление малоэтажных зданий, Издательство Министерства коммунального хозяйства РСФСР, 1950.
 5. Г. А. Максимов и А. И. Орлов, Отопление и вентиляция, ч. I, Государственное издательство литературы по строительству и архитектуре, 1954.
 6. Центральные системы отопления в массовом строительстве малоэтажных жилых домов, Государственное издательство литературы по строительству и архитектуре, 1951.
 7. K. Raegle, Centralā apkure un tās ekspluatācija, 1957.
-

SATURS

Priekšvārds	3
Ievads	5
1. §. Centralās ūdens apkures sistemas aprēķina parametri	7
2. §. Eku siltuma zudumu aprēķins	9
a) Siltuma zudumi caur ārsienām	11
b) Siltuma zudumi caur gridām un griestiem	14
c) Siltuma zudumi caur logiem un durvīm	17
d) Pieskaņumi siltuma zudumiem	17
3. §. Centralās ūdens gravitacijas apkures sistemas darbības principi	21
4. §. Siltuma ģeneratori	24
5. §. Siltuma ģeneratoru skursteni	34
6. §. Centralās apkures sildķermeni	35
7. §. Izplešanās traukī	41
8. §. Centralās apkures sistemu schemas	45
a) Apkures sistema ar atpakaļgaitas vadu pie gridas	50
b) Apkures sistema ar atpakaļgaitas vadu pie griestiem	52
9. §. Centralās apkures sistemas cauruļvadu dimensionēšana	57
10. §. Siltuma akumulatori	62
11. §. Apkures sistemas sildjaudas regulēšana	67
12. §. Kombinētās centralās apkures un karstā ūdens apgādes sistemas	72
a) Kombinētā siltumapgādes sistema ar tiešo karstā ūdens nogēmšanu	73
b) Kombinētā siltumapgādes sistema ar daļītiem ūdens plūsmu konturiem	75
Pielikumi	80
Literatura	89

GRISLIS VIKTORS JĀNA d.

CENTRALĀ ŪDENS APKURE INDIVIDUALAJĀS DZIVOJAMAS MAJĀS

Redaktotrs *E. Rinks*. Mākslinieciskā redaktore *N. Sakīrjanova*. Techniskais redaktors *A. Kronbergs*. Korektore *A. Grundāne*. Nodota salīdzinanai 1958. g. 10. jūnijā. Parakstīta iespiešanai 1958. g. 23. septembrī. Papīra formāts $84 \times 108\frac{1}{2}$ z., 5,75 fiz. iespiedl.; 4,72 uzsk. iespiedl.; 3,93 izdevn. l. Metiens 3000 eks. JT 18718. Maksā 1 rbl. 20 kap.

LATVIJĀS VALSTS IZDEVNIECĪBA

Rīgā, Padomju bulv. 24. Izdevn. Nr. 10807-2833. Iespiesta Izdevniecību, poligrafiskās rūpniecības un grāmatu tirdzniecības galvenās pārvaldes Paraugtipografija Rīgā, Pušķina ielā 12. Pasūt. Nr. 898.